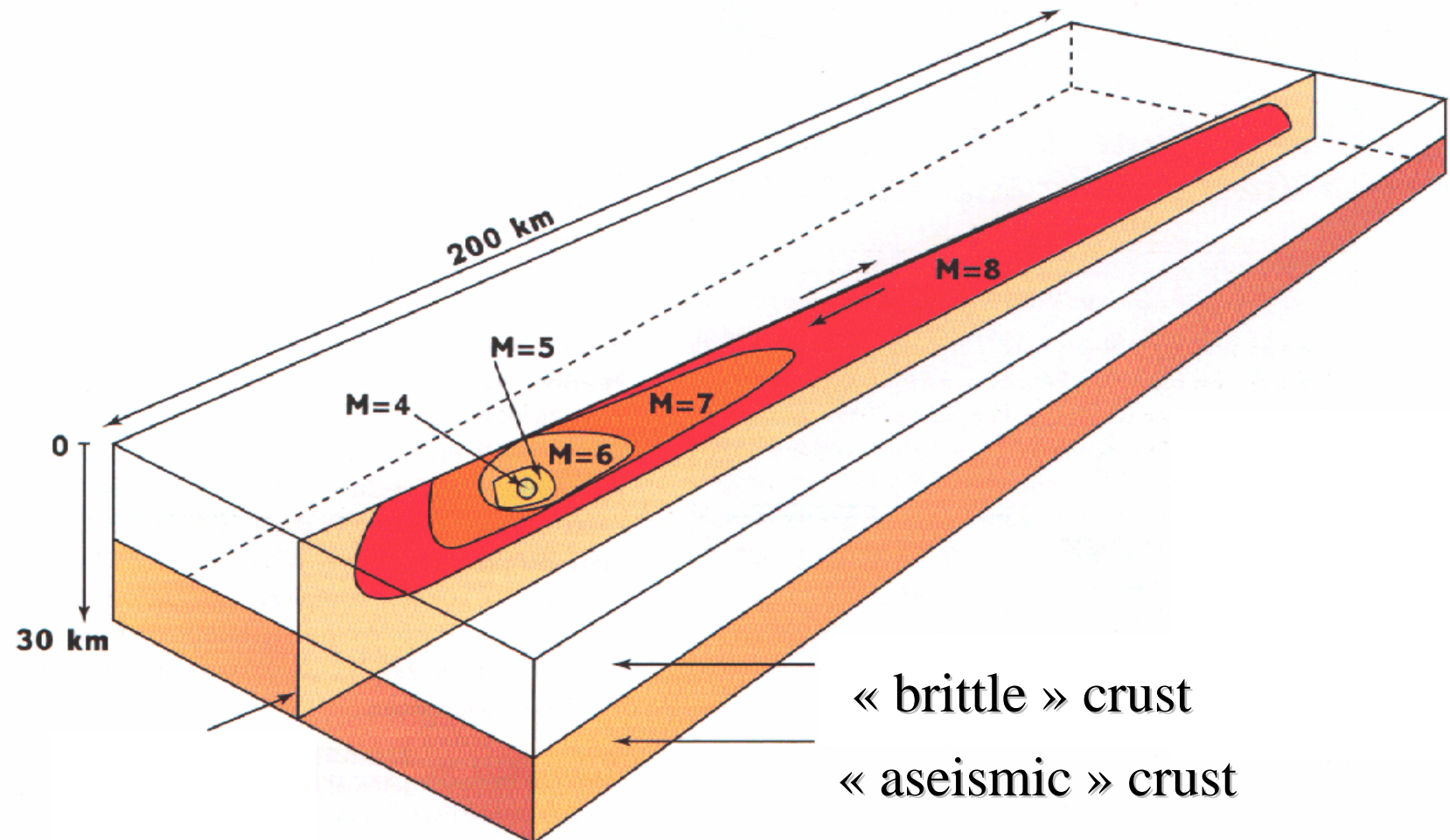


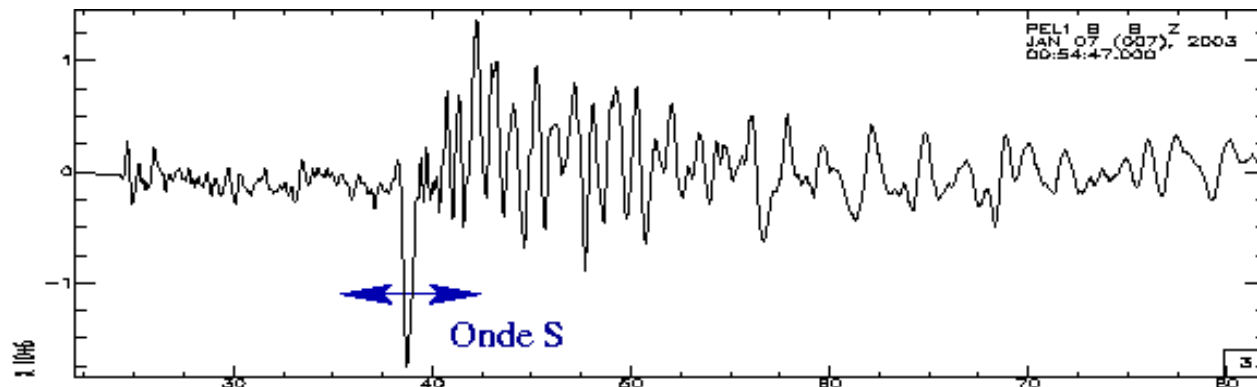
VI Lois d'échelles

Taille de la rupture et magnitude

$M_w = \log(M_0)/1.5 - 10.73$: moment magnitude (Kanamori)

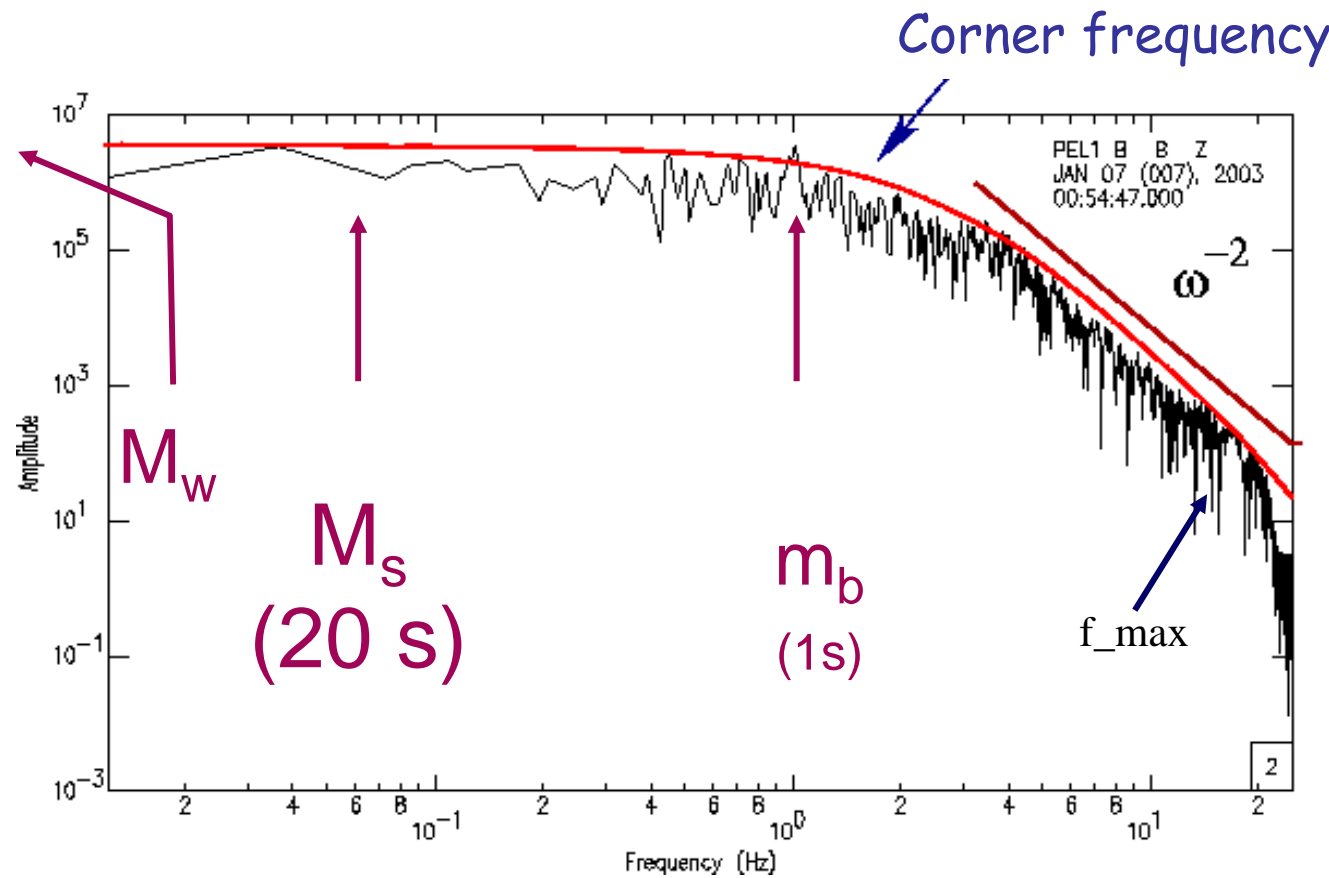


Typical spectral analysis of a displacement wave form



Station PEL
(Geoscope VBB)

7 Jan 2003

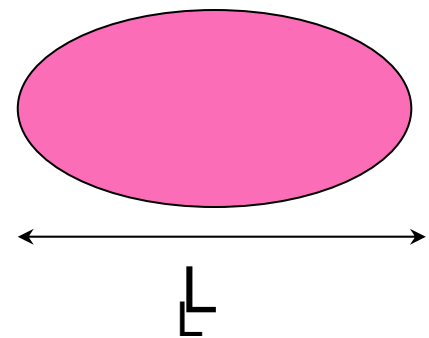


$M=6$
 $H=90$ km
 $D=90$ km

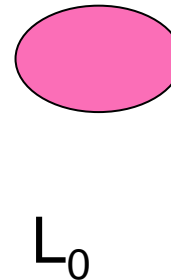
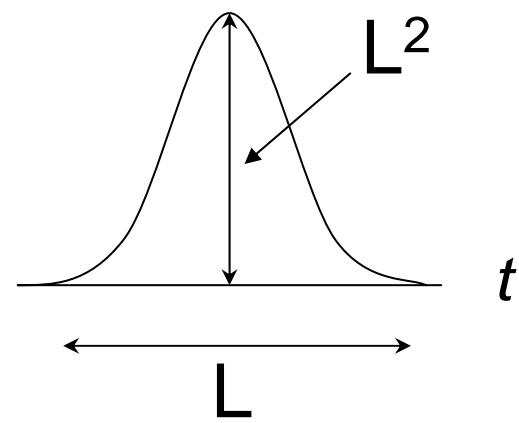
Vertical fault
slab pull
inside Nazca plate

Fundamentals of earthquake scaling

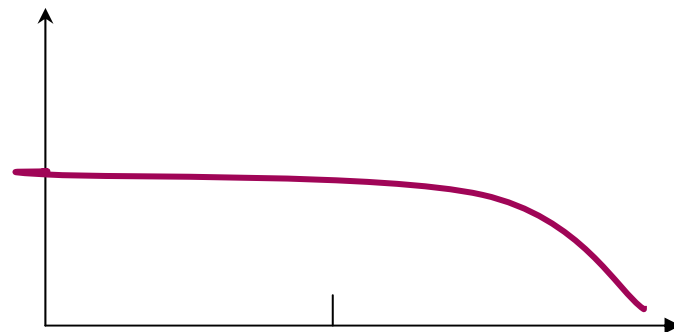
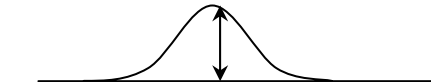
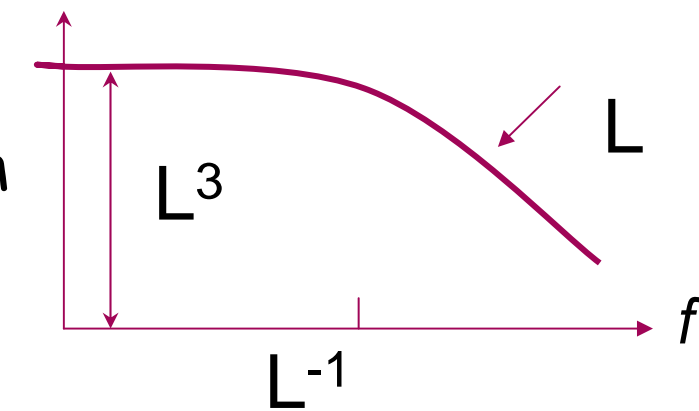
Surface



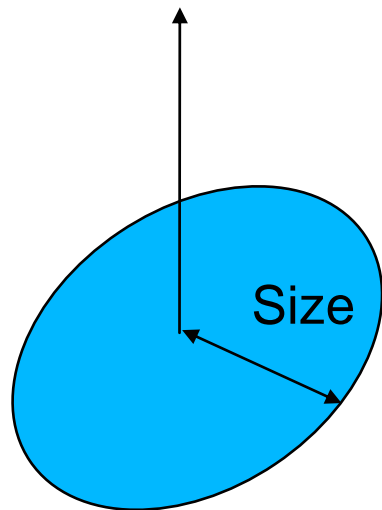
Signal



Spectrum

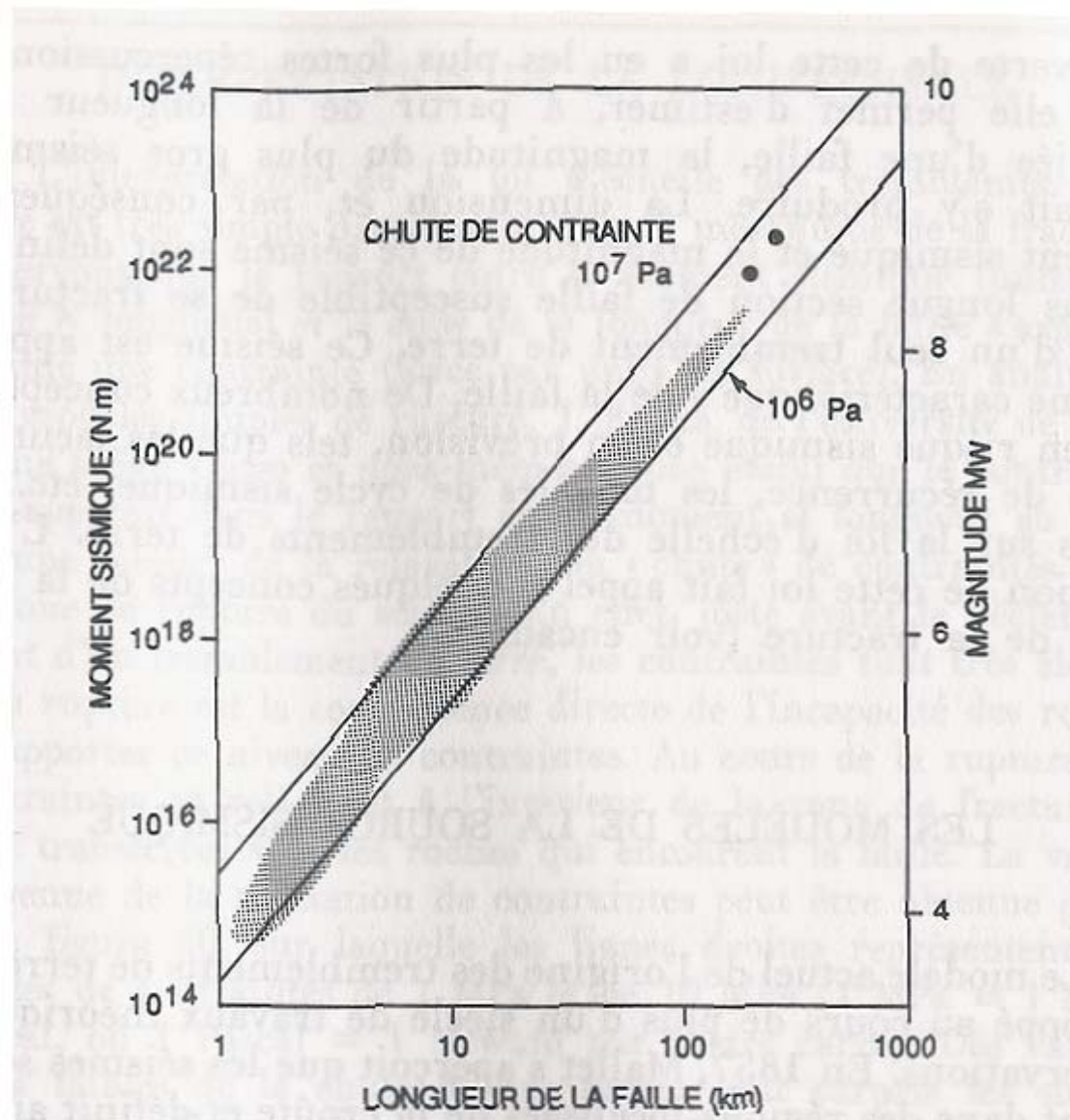


Earthquake scaling law

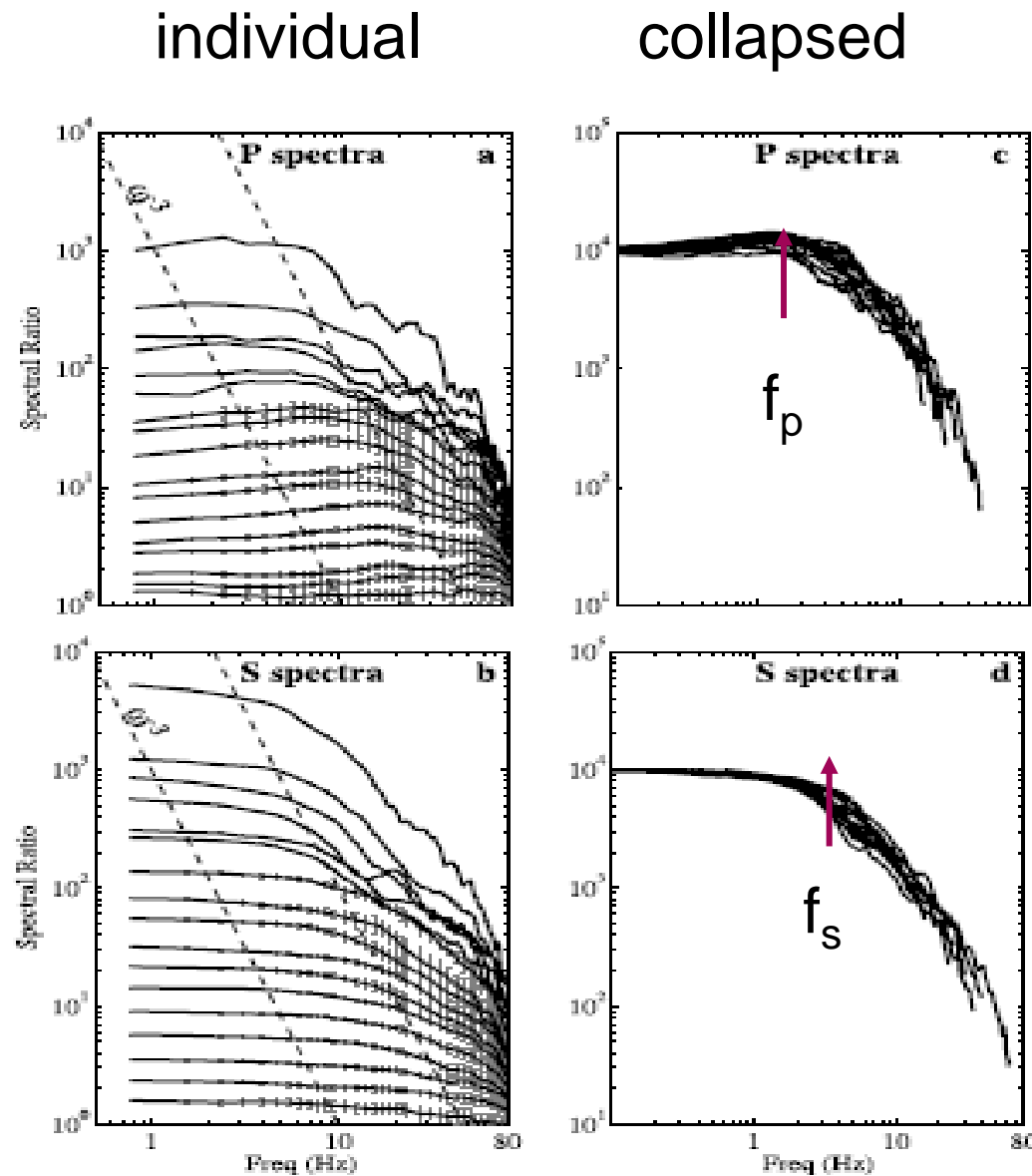


There is a single scale:

Earthquake size L



Modern test of earthquake scaling law



Test by Prieto et al
JGR, 2004

$$f_p / f_s = 1.6$$

Circular crack model

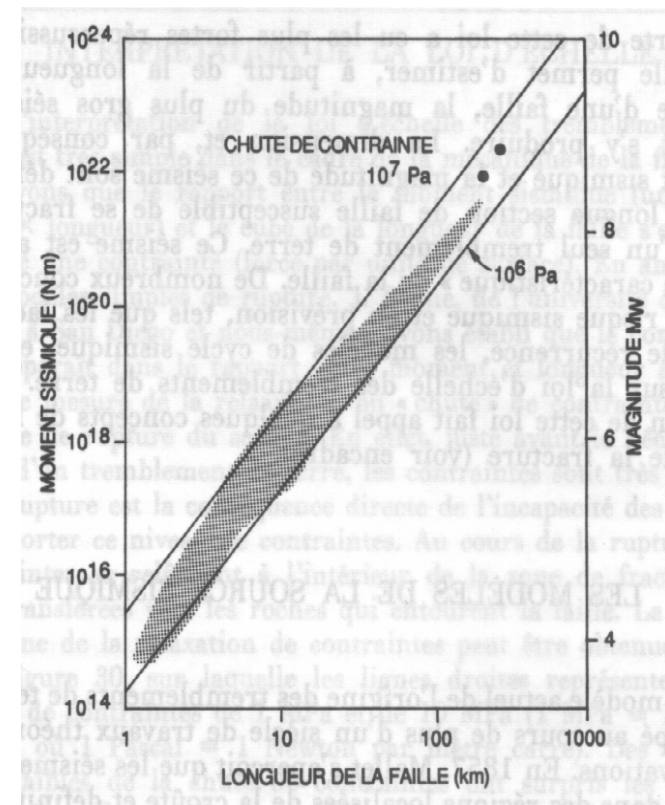
$$f_p / f_s = 1.7$$

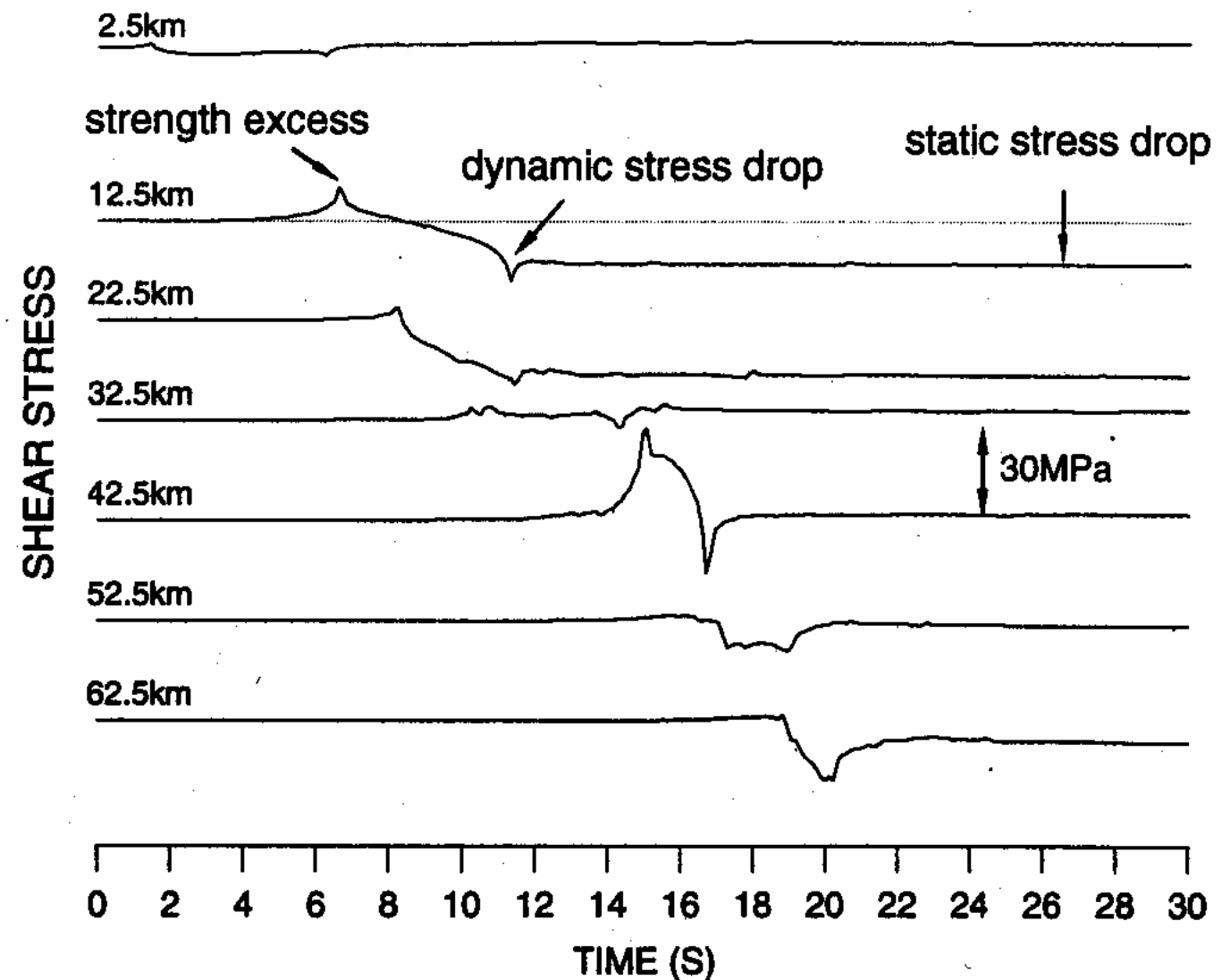
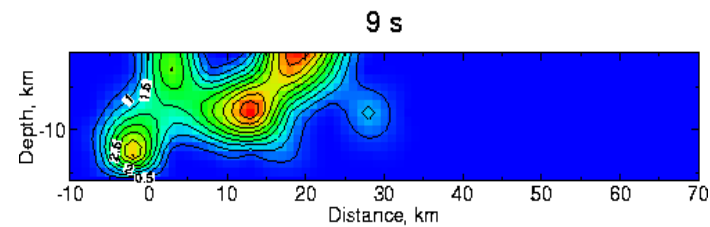
(Madariaga, 76)

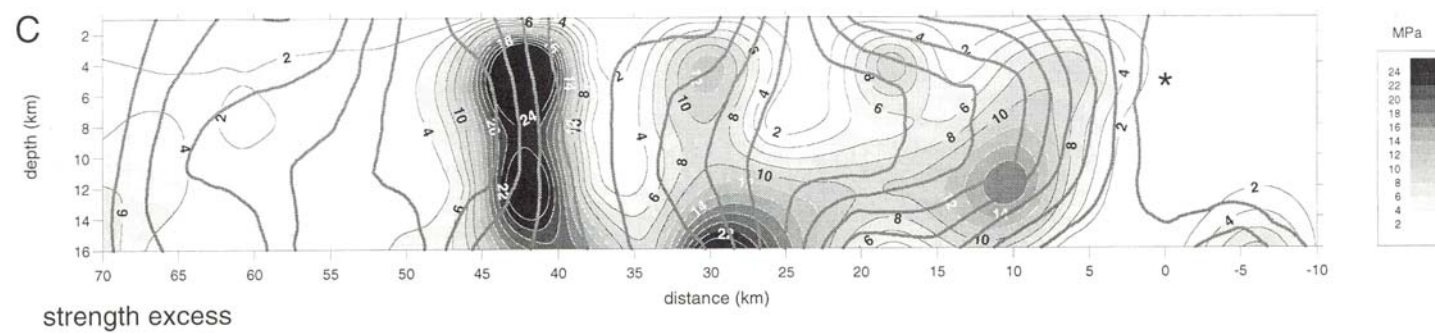
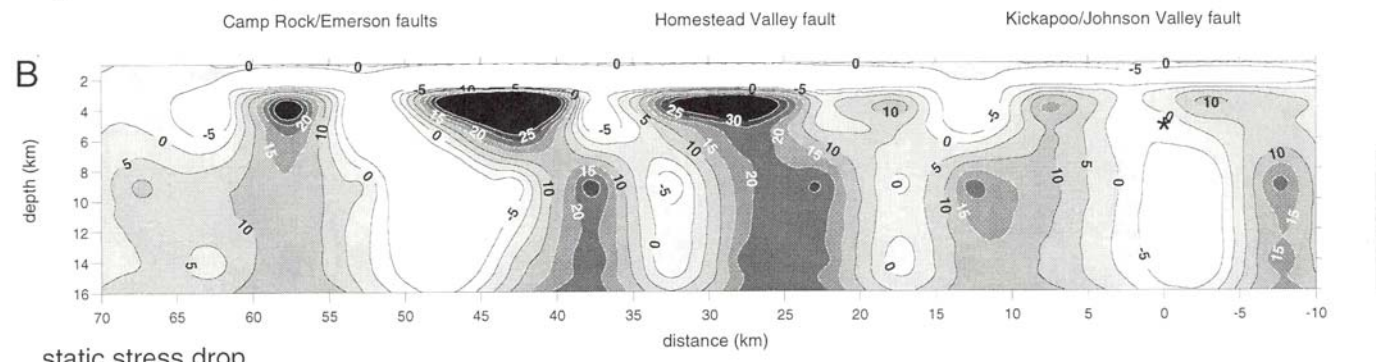
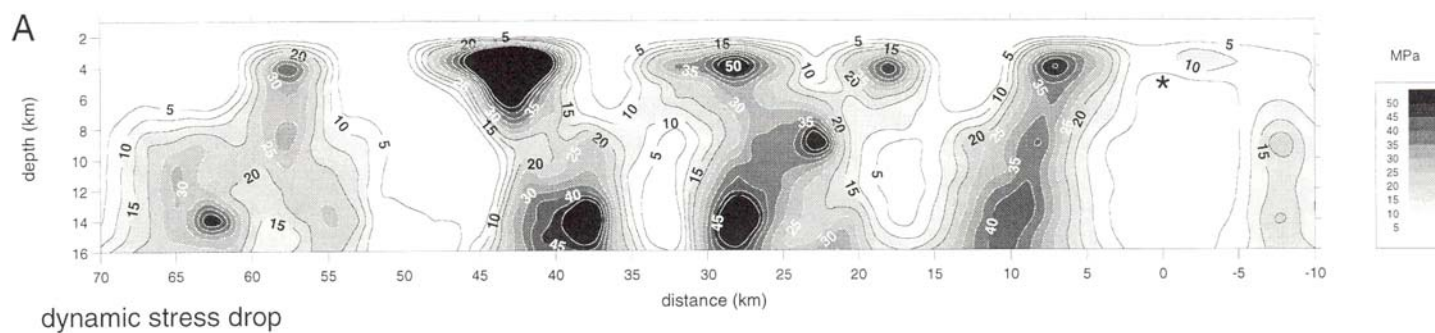
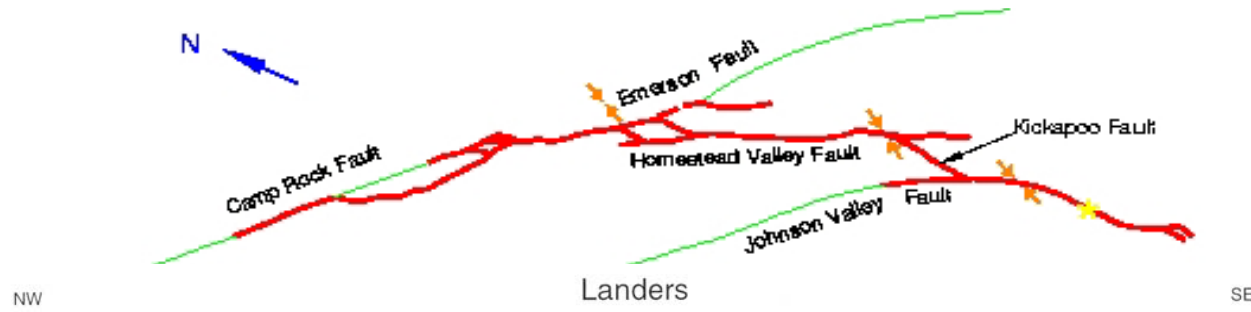
Lois d'échelle des ruptures sismiques

| Magnitude | Longueur de faille | Coulissage moyen | Durée de rupture |
|-----------|--------------------|------------------|------------------|
| 9 | 800 km | 15 m | 250 s |
| 8 | 200 km | 5 m | 60 s |
| 7 | 50 km | 1 m | 15 s |
| 6 | 10 km | 20 cm | 3 s |
| 5 | 3 km | 5 cm | 1 s |
| 4 | 1 km | 1 cm | 0,3 s |

Variabilité : 50 %







A finite shear crack of radius a with uniform stress drop $\Delta\sigma$: static solution (Eshelby, 1957):

$$\Delta u(\xi) = \frac{7\pi}{12} \frac{\Delta\sigma}{\mu} a \sqrt{1 - \frac{\xi^2}{a^2}}$$

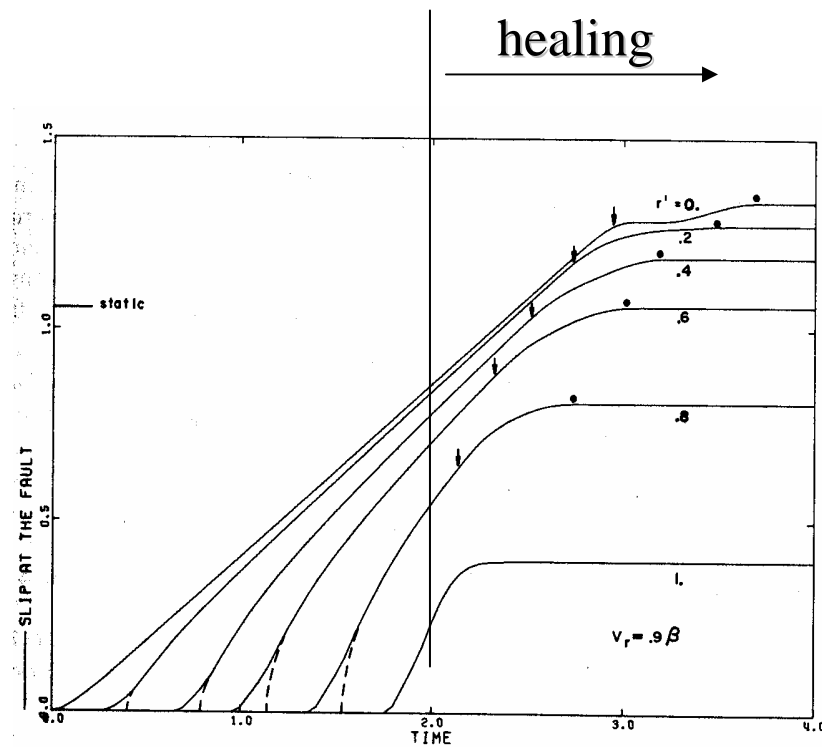
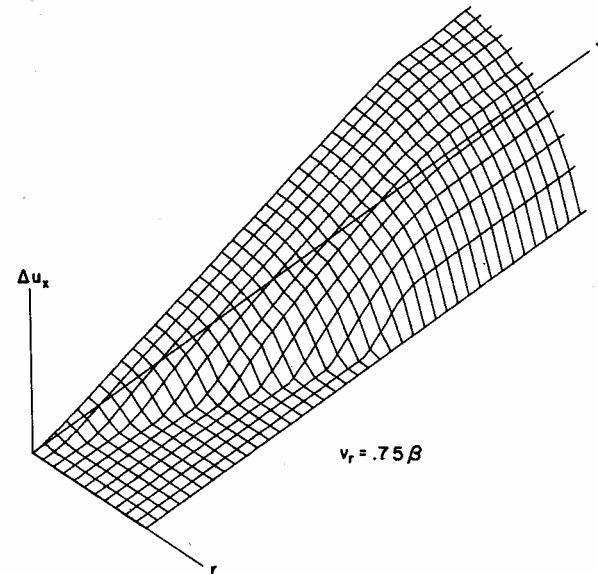
$\Rightarrow [u]_{max}$ or $[\bar{u}] \sim a$ at constant $\Delta\sigma$

$$M_0 = \mu [\bar{u}] \pi a^2 = \frac{16}{7} \Delta\sigma a^3$$

Kostrov's self similar propagating crack: elliptical slip distribution

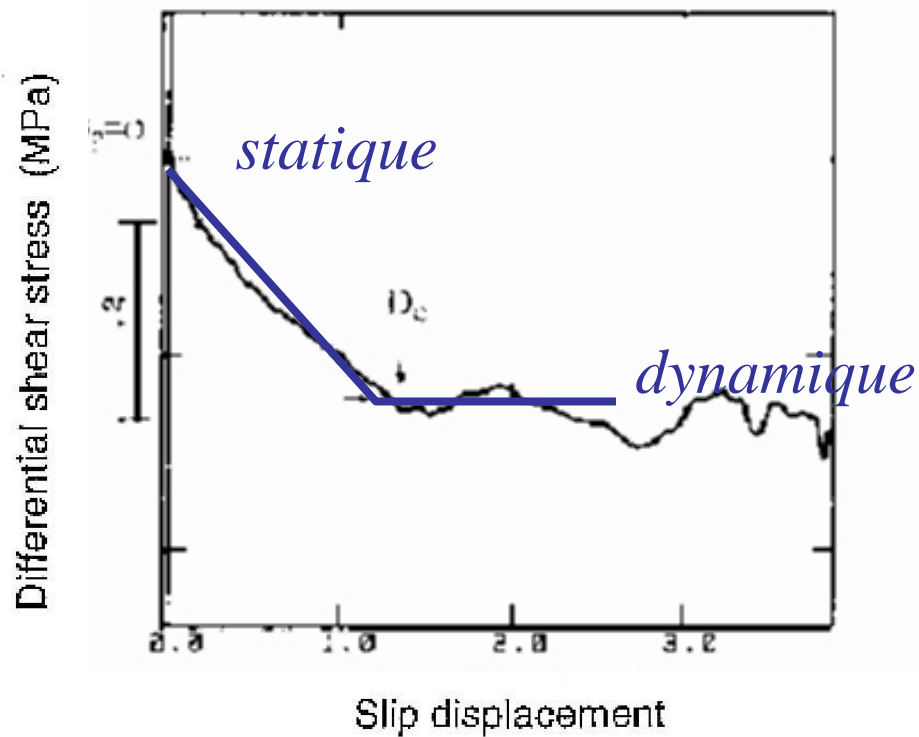
Madariaga (1976):

Numerical solution for a circular
crack of finite size propagating at
constant velocity.



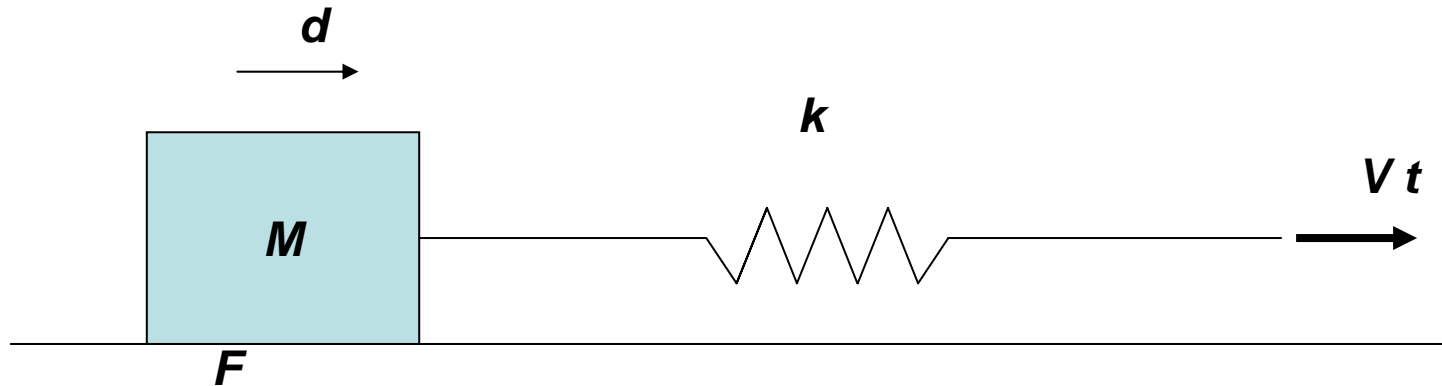
Loi de friction avec affaiblissement

Expérience de laboratoire



Taux d'affaiblissement

$$\alpha_c = \frac{-\sigma_{zz}^{\infty}(\mu_s - \mu_d)}{\rho v_s^2 L_c} = \frac{\sigma_s - \sigma_d}{G L_c}$$



$$M \frac{\partial^2 d}{\partial t^2} = k(l_0 + vt) - F; \quad F = Mg(\mu_s - \alpha d)$$

Autour de la position limite ($g = 0$):

$$k(l_0 + vt) = F$$

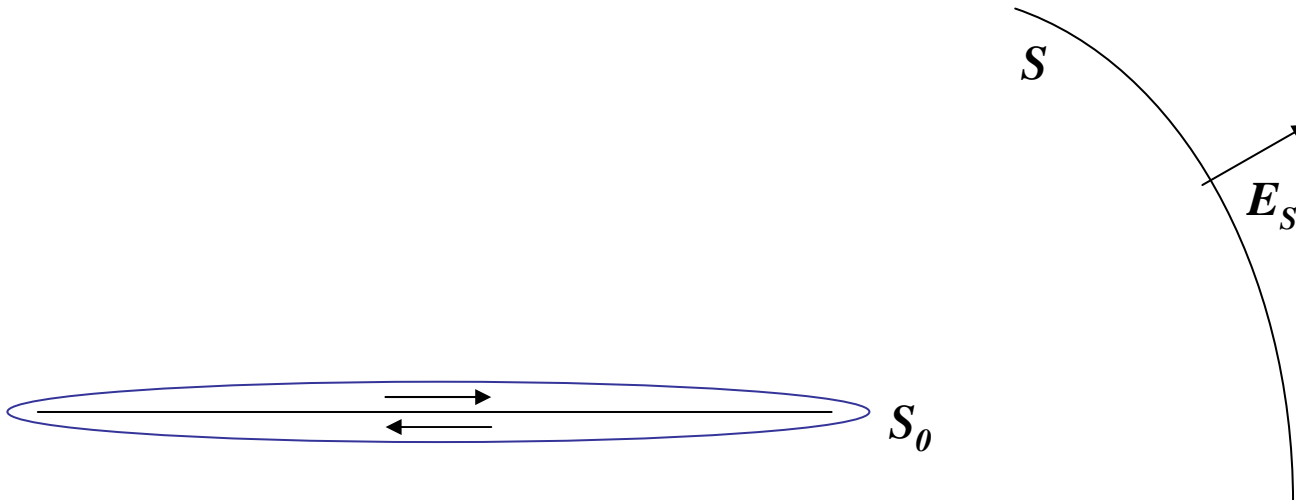
$$\rightarrow M \frac{\partial^2 d}{\partial t^2} = kd - Mg\alpha d$$

Laplace: solution sous la forme $d = d_0 \exp(\lambda t)$

$$M\lambda^2 d = (-k + Mg\alpha)d \rightarrow \lambda^2 = -\frac{k}{M} + g\alpha$$

si $g\alpha > \frac{k}{M} \rightarrow \lambda$ réel instabilité

si $g\alpha < \frac{k}{M} \rightarrow \lambda$ imaginaire stabilité



Bilan d'énergie d'un séisme

$$\text{Energie totale: } E_T = \int_0^t dt \int_{S_0} \dot{D} \Delta \sigma dS_0$$

- énergie sismique émise: E_S
- énergie de déformation statique: ΔW
- énergie de fracturation : $\int_{S_0} \gamma dS$

On peut mesurer l'énergie sismique

$$E_S = \int_0^t dt \int_S \dot{u}_i \Delta \sigma_{ij} n_j dS$$

$$E_S = E_T - \Delta W - \int_{S_0} \gamma dS$$

Calcul de ΔW

densité d'énergie = déformation \times contrainte agissante

- contrainte

$$\sigma_a \approx \langle \sigma \rangle - \sigma_f$$

$$\langle \sigma \rangle \approx \frac{1}{2}(\sigma_0 + \sigma_f) \rightarrow \sigma_a \approx \frac{1}{2}(\sigma_0 - \sigma_f) = \frac{1}{2}\Delta\sigma$$

- déformation

$$\epsilon = \frac{D}{\delta z}$$

où δz est l'épaisseur de la faille.

$$\Delta W = \int_{V(S_0)} \frac{D}{\delta z} \frac{1}{2} \Delta\sigma dV$$

$$dV = \delta z dS \rightarrow \Delta W = \frac{1}{2} \int_{S_0} D \Delta\sigma dS \approx \frac{1}{2} E_T$$

$$E_S = E_T - \Delta W - \int_{S_0} \gamma dS = \Delta W - \int_{S_0} \gamma dS$$

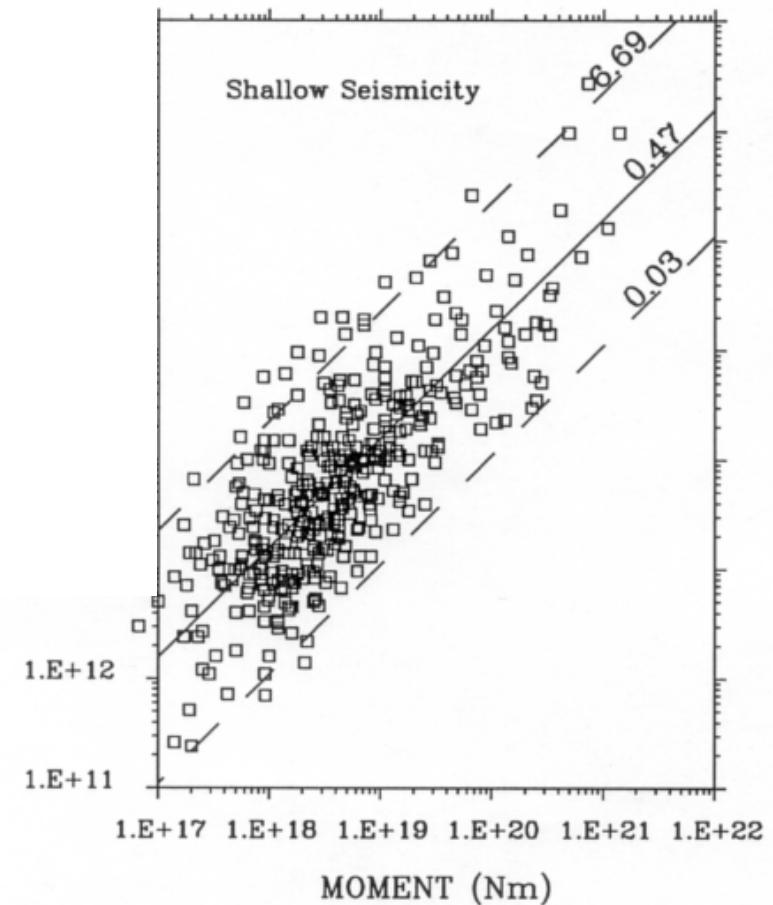
En supposant que $\Delta\sigma \approx \text{constant}$:

$$E_S = (\frac{1}{2}\Delta\sigma \langle D \rangle - \langle \gamma \rangle)S$$

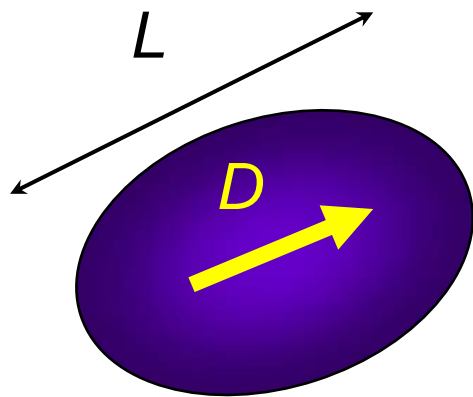
Pour les gros séismes:

$$\langle \gamma \rangle \ll \frac{1}{2}\Delta\sigma \langle D \rangle$$

$$E_S = \frac{1}{2}\Delta\sigma \langle D \rangle S = \frac{1}{2\mu}\Delta\sigma M_0$$



Simple circular model



Moment

$$M_o = \mu D S \approx \mu L^3$$

Seismic energy

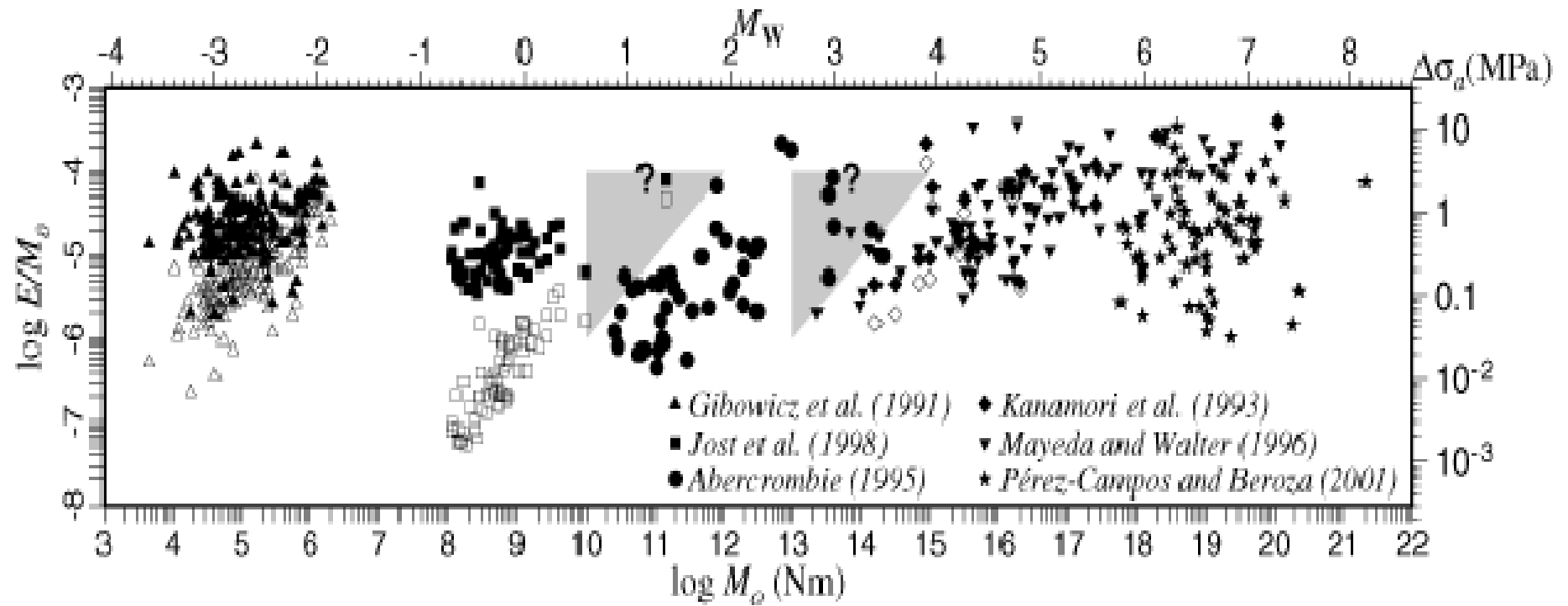
S

$$E_S = \# \Delta\sigma D S \approx \Delta\sigma L^3$$

Energy moment ratio

$$\frac{E_S}{M_o} \approx \frac{\Delta\sigma}{\mu}$$

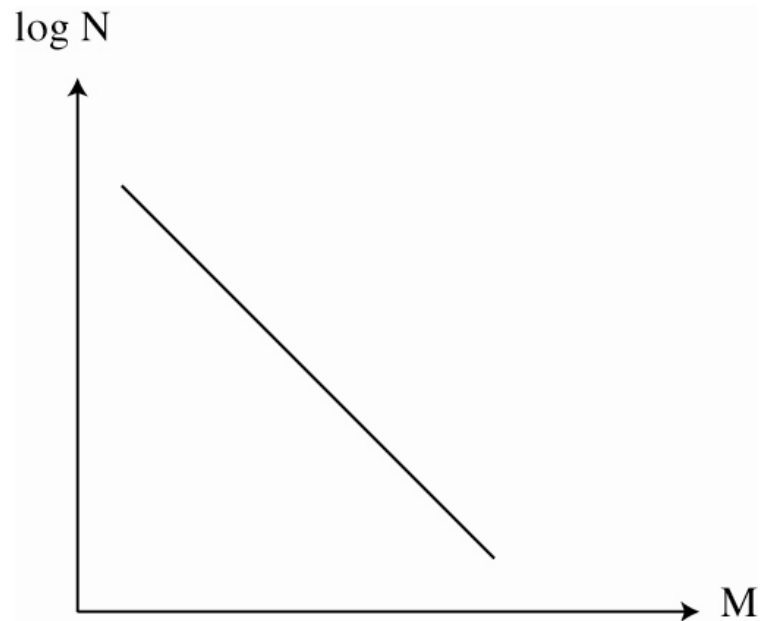
Summary of Observed Radiated Energy vs Moment



$$\log M_o = 1.5 M_w + 9.6$$

Beroza *et al.*, 2001

LOI DE GUTEMBERG ET RICHTER :



$$\log N = -bM + \log a$$

a : constante et b : constante

N : nombre de séismes par unités de temps de magnitude supérieure M.

On observe suivant les régions : $0.8 < b < 1.2$ (attention à la validité statistique!)

Pour la sismicité globale, $b \simeq 1$.

Relation magnitude-moment:

$$\log M_0 = 1.5M + 9.1 = cM + d$$

$$M_0 \sim \Delta\sigma L^3 \Rightarrow \log M_0 = 3 \log L + \log \Delta\sigma$$

$$\begin{aligned}\log N &= -bM + \log a \\ &= \frac{-b}{c} (\log M_0 - d) \\ &= \frac{-b}{c} 3 \log L + C^{ste}\end{aligned}$$

$$N = \beta L^{-\frac{3b}{c}} = \beta S^{-\frac{3}{2} \frac{b}{c}} \quad ou \quad S = L^2$$

$$\text{avec } c = 1.5 \Rightarrow N = \beta L^{-2b}$$

$$\text{avec } b = 1 \Rightarrow N = \beta L^{-2} = \beta S^{-1}$$

DEFINITION DE LA DIMENSION :

Exemple classique des côtes, topographies, fragmentations :

Fragmentation :

N : Nombre d'objets de dimension caractéristique $> r$

vérifie : $N = \frac{C}{r^D}$, C constante, D : dimension fractale

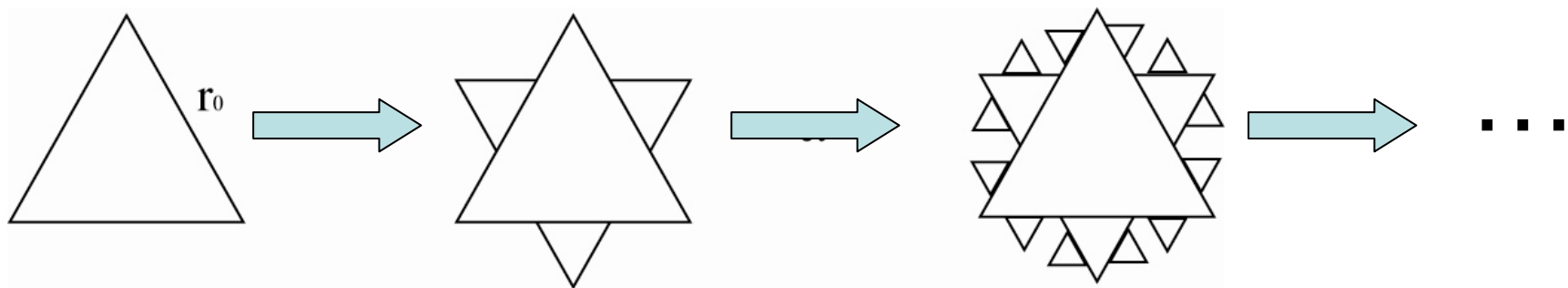
Exemples :

- d'un segment de droite : mesuré avec différentes règles . 10 fois plus de mm que de cm, etc... \Rightarrow D=1
- d'un carré plein : mesuré avec différents carrés de côtés variables. \Rightarrow il en faut 100 fois plus avec 1mm^2 qu'avec 1cm^2 \Rightarrow D=2

\rightarrow peut être fractale : exemple longueur de la côtes \rightarrow la longueur varie suivant la mesure utilisée \Rightarrow D=1.25

→ Un modèle simple → périmètre de l'Île de Koch

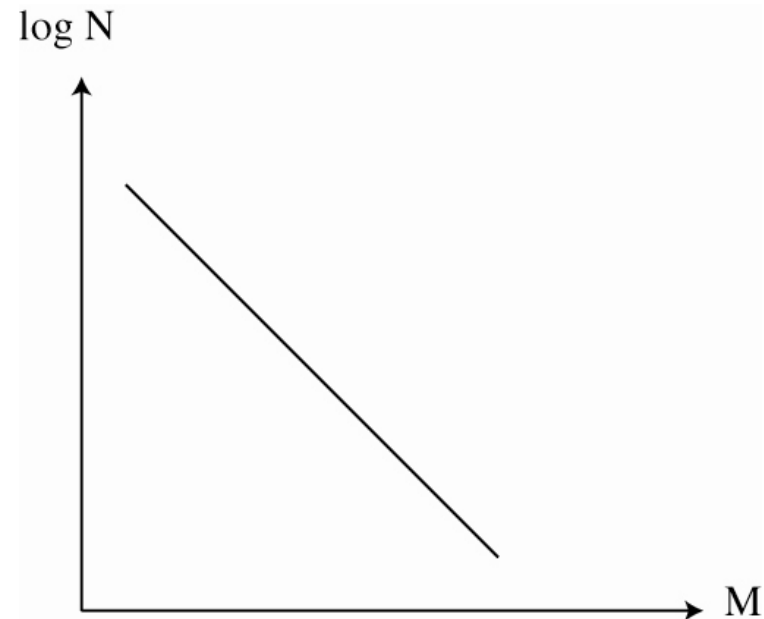
Sur chaque côté d'un triangle, on rajoute un triangle de côté $= \frac{r_0}{3}$



La croissance se fait dans une surface finie, la longueur du périmètre est infinie mais suit une loi puissance avec $D \simeq 1.262$.

$$\log N = -bM + \log a$$

$$b = 1$$

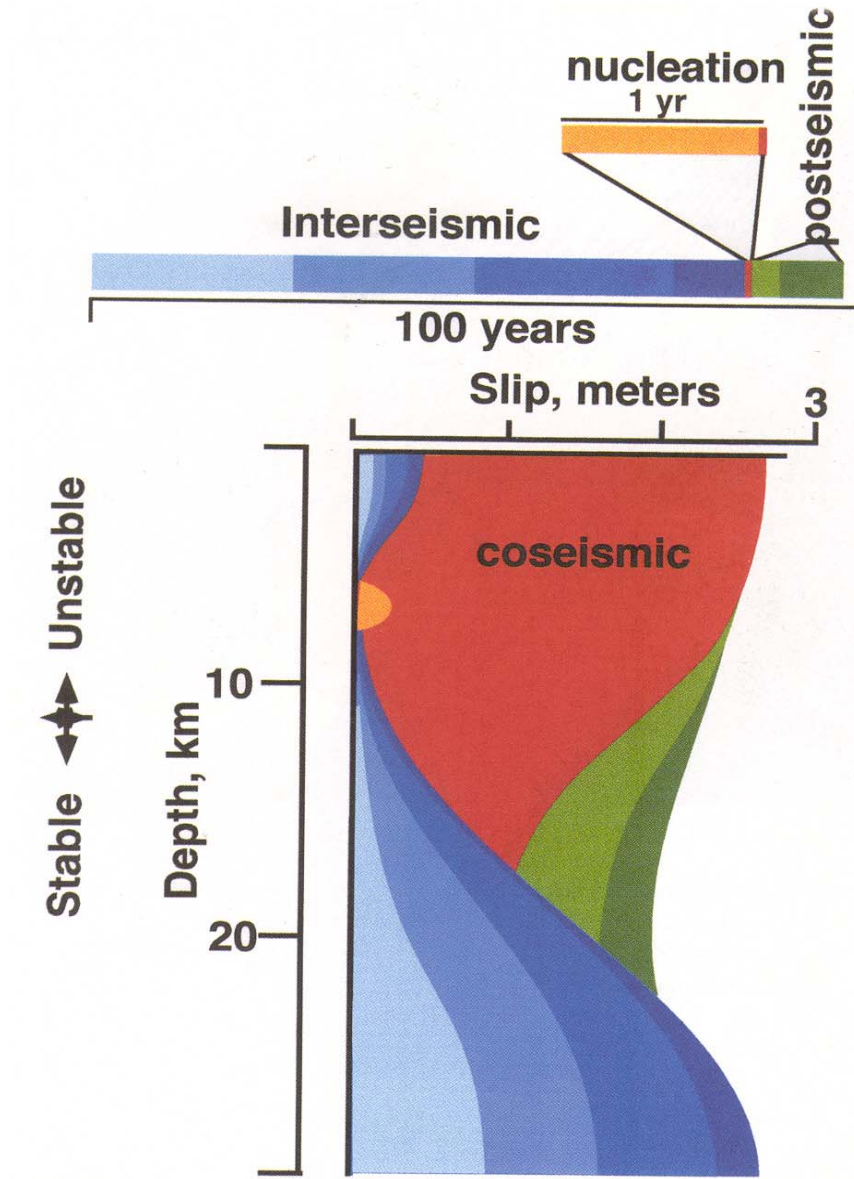


L'ensemble de faille décrit par la sismicité a donc une "dimension" donnée par la loi de Gutemberg et Richter.

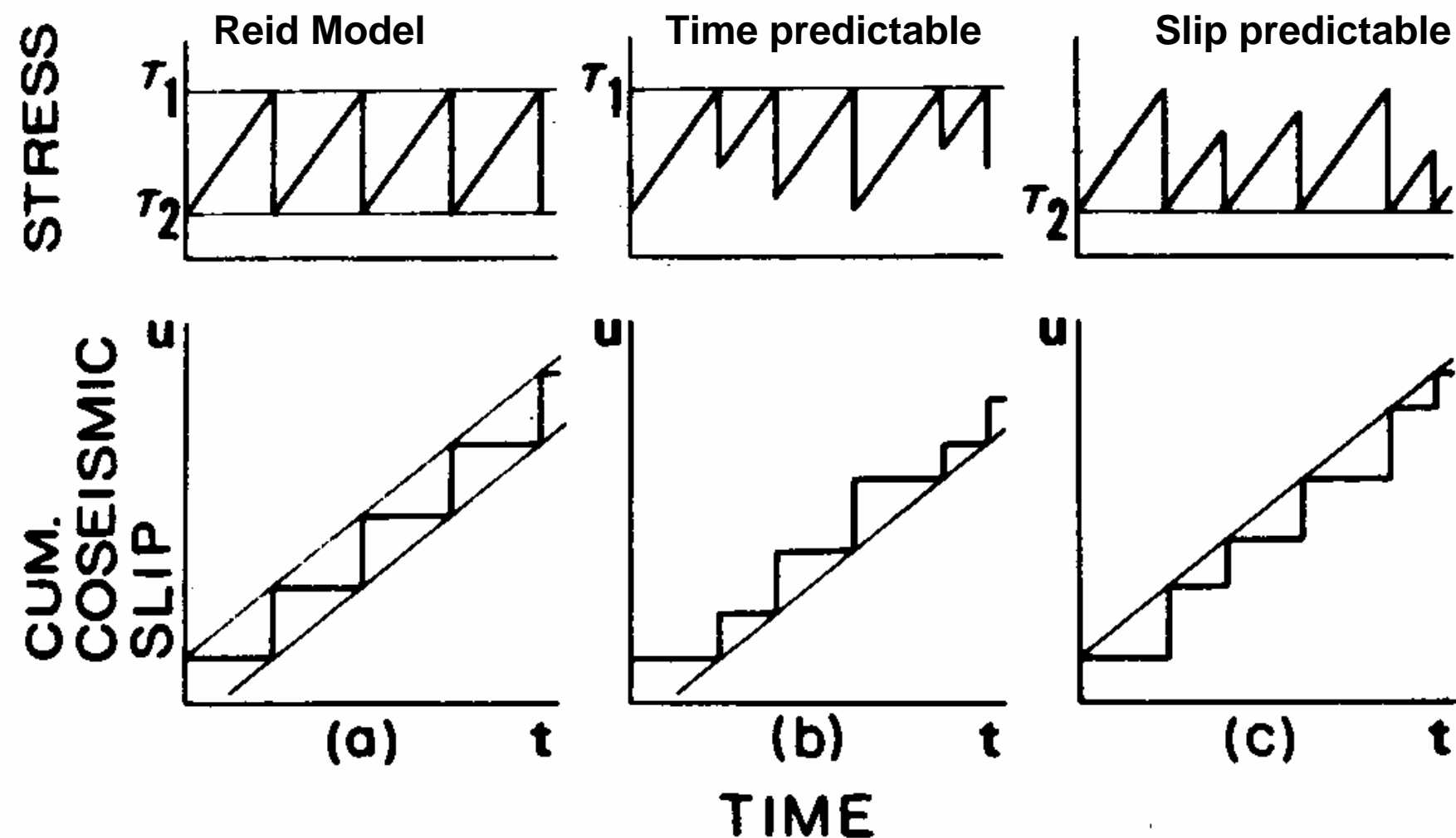
$$\Rightarrow N \simeq \beta L^2 \Rightarrow D = 2.$$

si $b < 1 \Rightarrow D < 2 \Rightarrow$ "surface lacunaire"

$b > 1 \Rightarrow D > 2 \Rightarrow$ "source volumique"

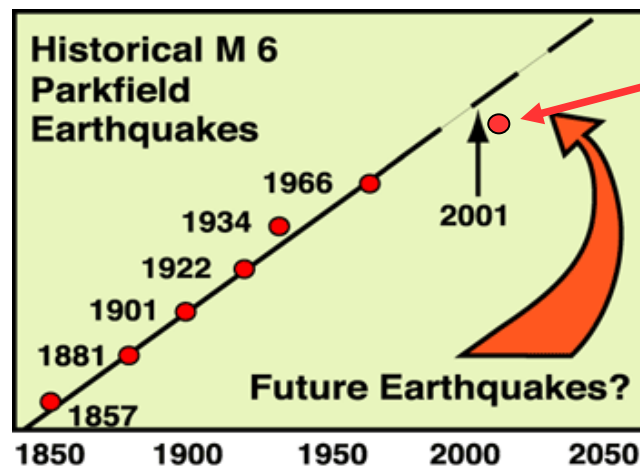


(Tse and Rice, 1997)



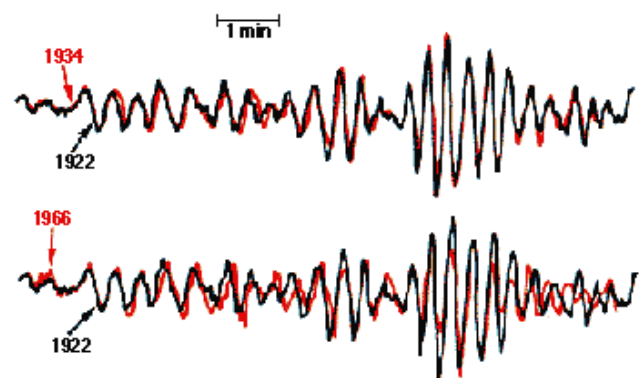
Scholz, 1989

Parkfield (Backun, McEvilly and Lindh, 1979, 1984, 1985)



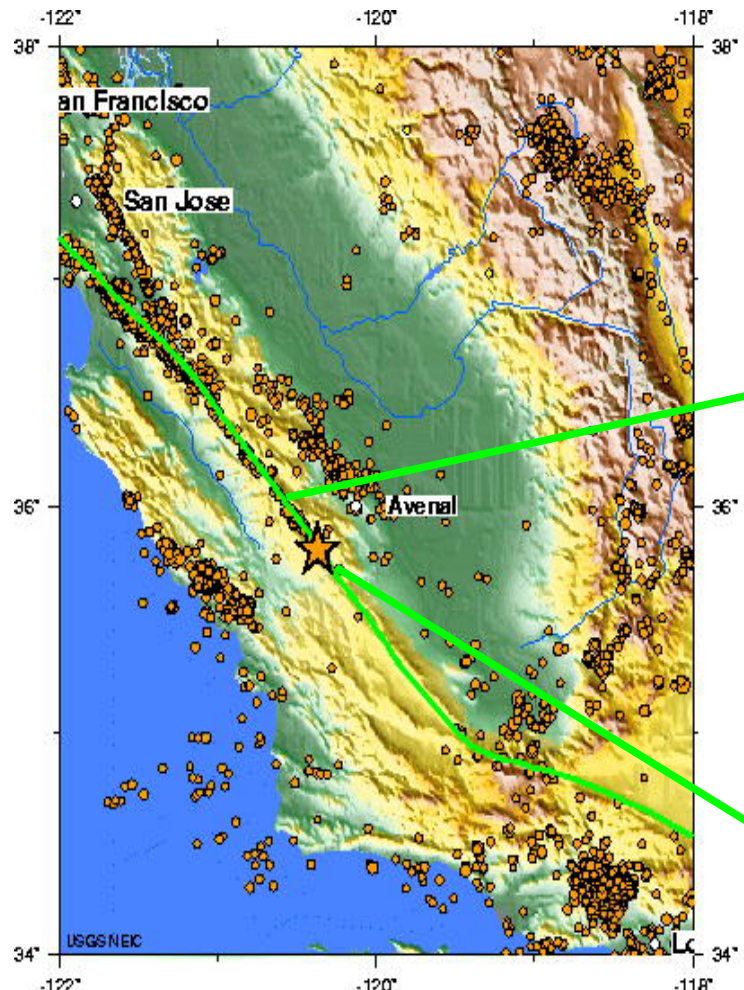
28 September 2004, 18:17 GMT
M=6

Since 1857
6 earthquakes de M 6 Parkfield

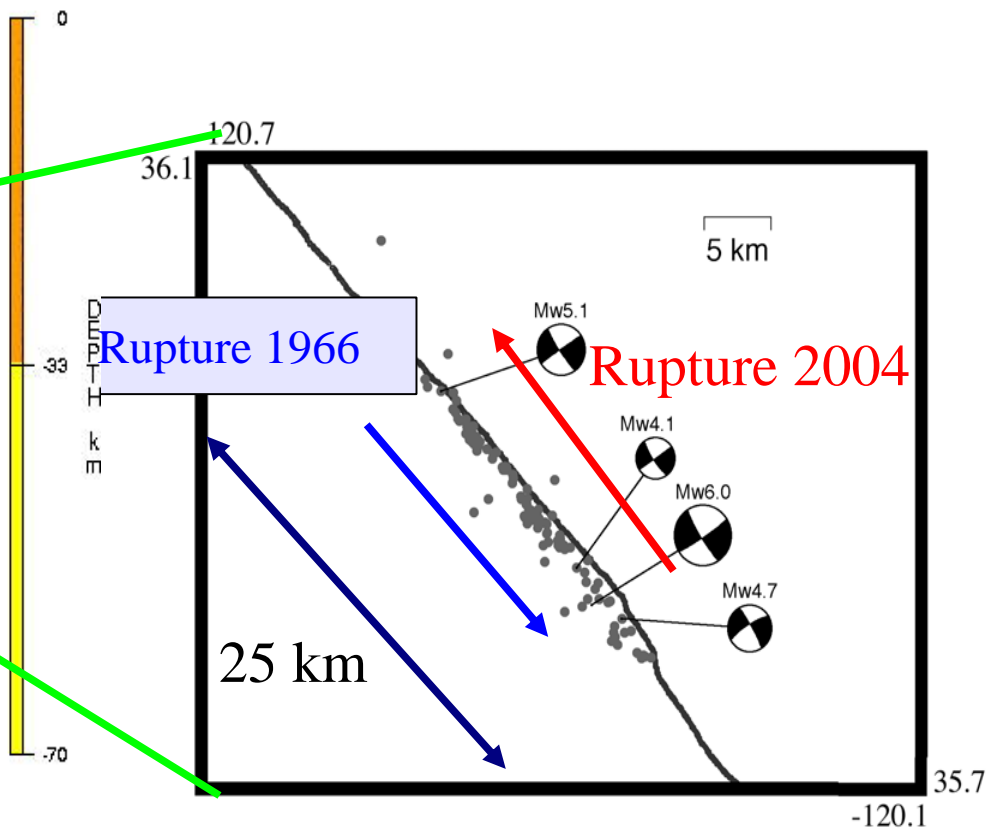


1922, 1934 et 1966 : same signal
At the station DBN

Parkfield : a characteristic earthquake ?



28 September 2004,
18:17 GMT M=6



CENTRAL CALIFORNIA

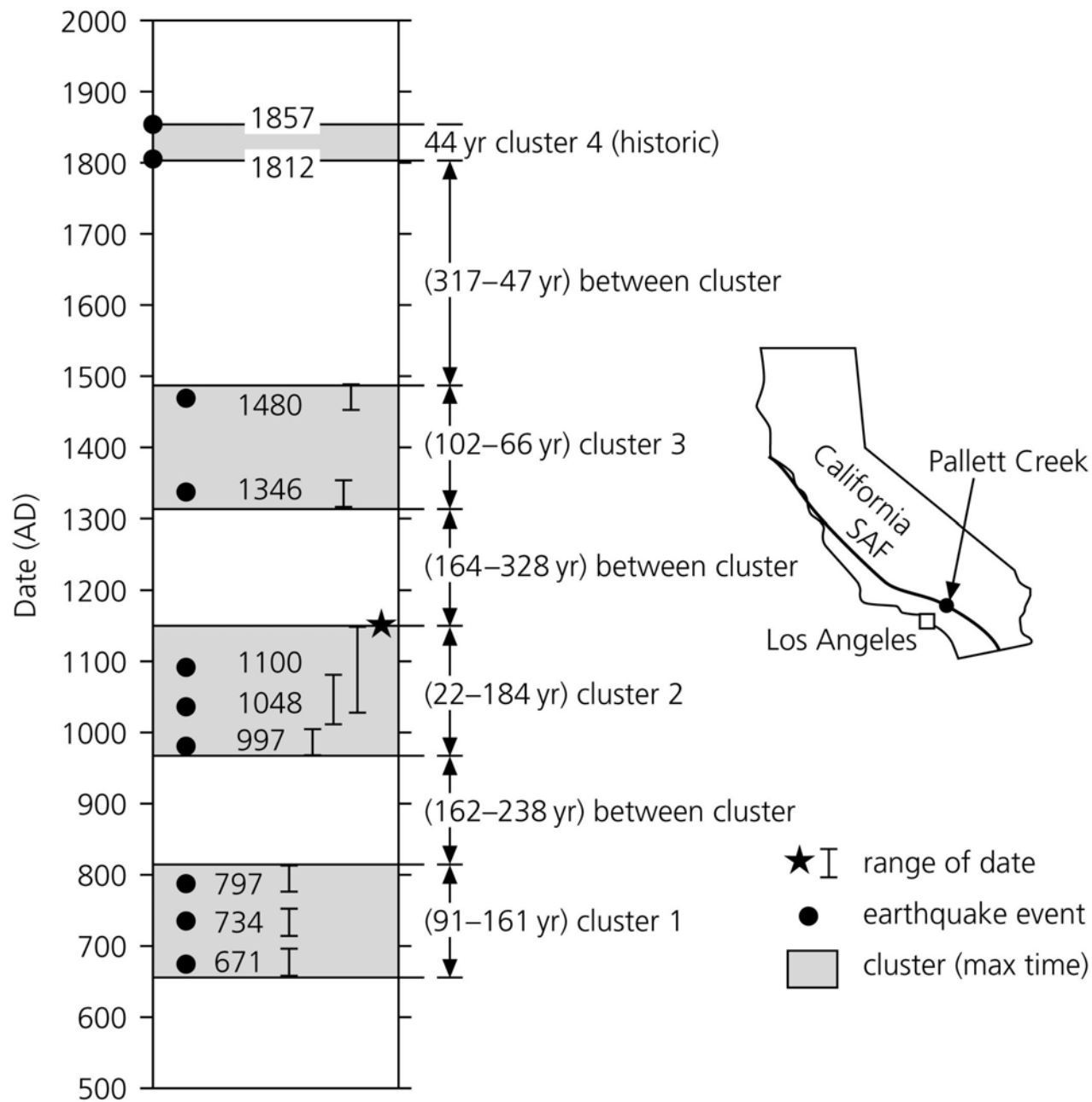
2004 09 28 17:15:24 UTC 35.81N 120.37W Depth: 8 km, Magnitude: 6.0

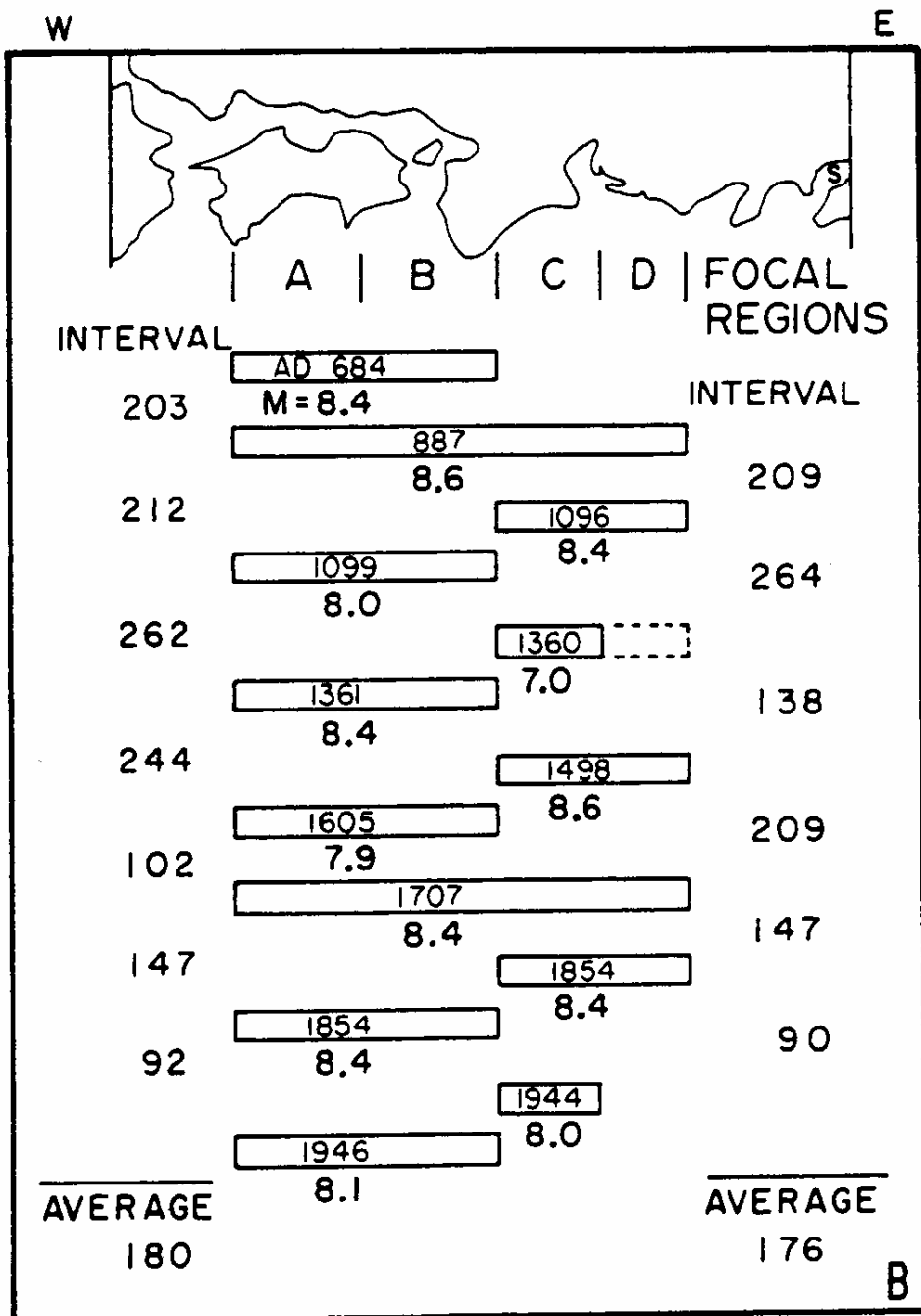
Seismicity 1990 to Present

Major Tectonic Boundaries: Subduction Zones - purple, Ridges - red and Transform Faults - green

USGS National Earthquake Information Center

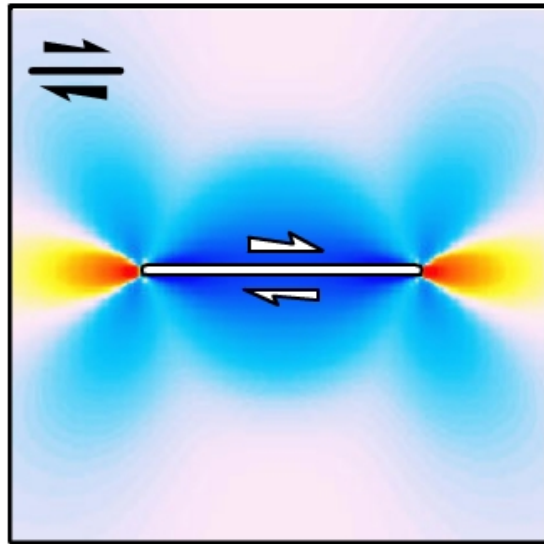
Figure 1.2-15: Paleoseismic time series for the San Andreas near Pallett Creek.





How the Coulomb Stress Change is Calculated

Stress  Rise  Drop



Shear stress
change

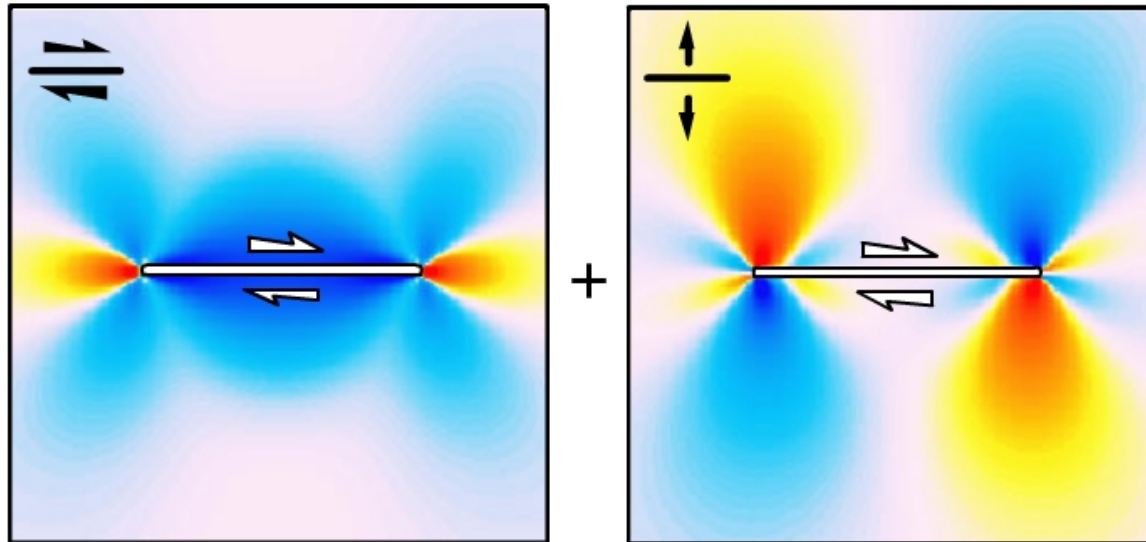
$$\Delta\tau_s$$

- Example calculation for faults parallel to master fault

From King et al (BSSA, 1994)

How the Coulomb Stress Change is Calculated

Stress  Rise  Drop



Shear stress
change

+ Friction coefficient \times
normal stress change

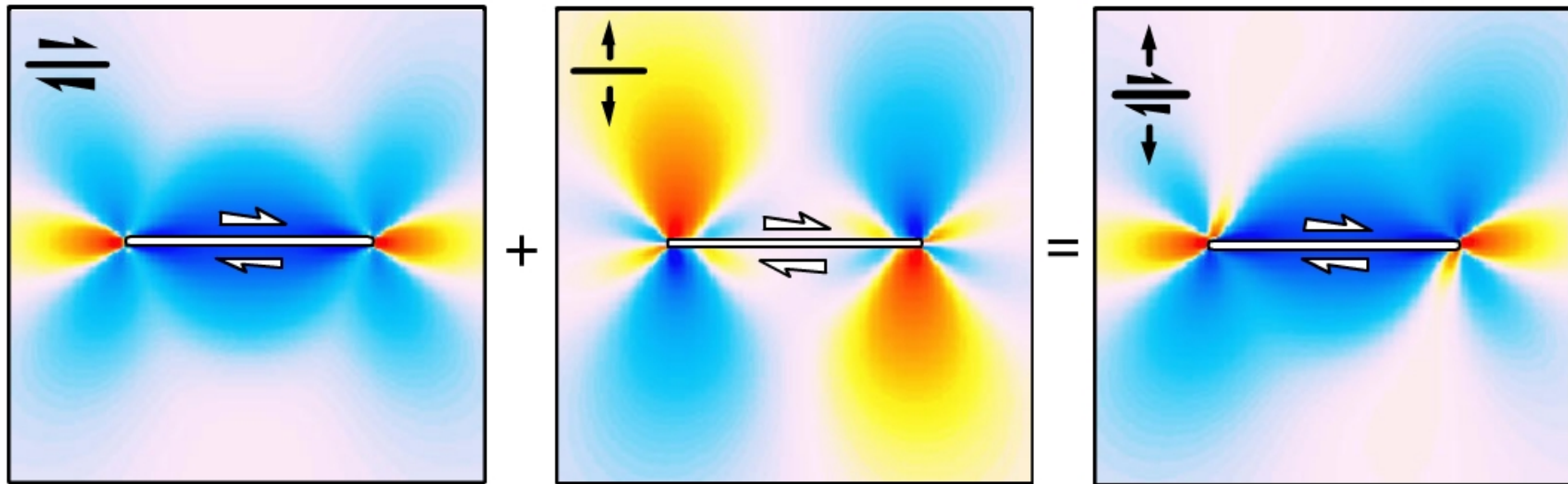
$$\Delta\tau_s$$

$$+ \mu' (\Delta\sigma_n)$$

- Example calculation for faults parallel to master fault

How the Coulomb Stress Change is Calculated

Stress  Rise  Drop



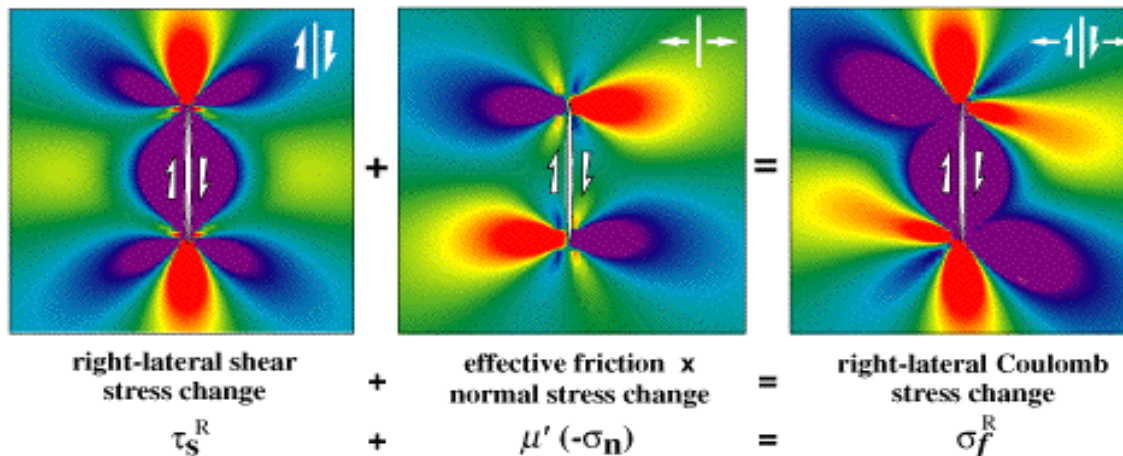
$$\begin{array}{c} \text{Shear stress} \\ \text{change} \\ \Delta\tau_s \end{array} + \begin{array}{c} \text{Friction coefficient} \times \\ \text{normal stress change} \\ \mu' (\Delta\sigma_n) \end{array} = \begin{array}{c} \text{Coulomb failure} \\ \text{stress change} \\ \Delta\sigma_f \end{array}$$

- Example calculation for faults parallel to master fault

From King et al (BSSA, 1994)

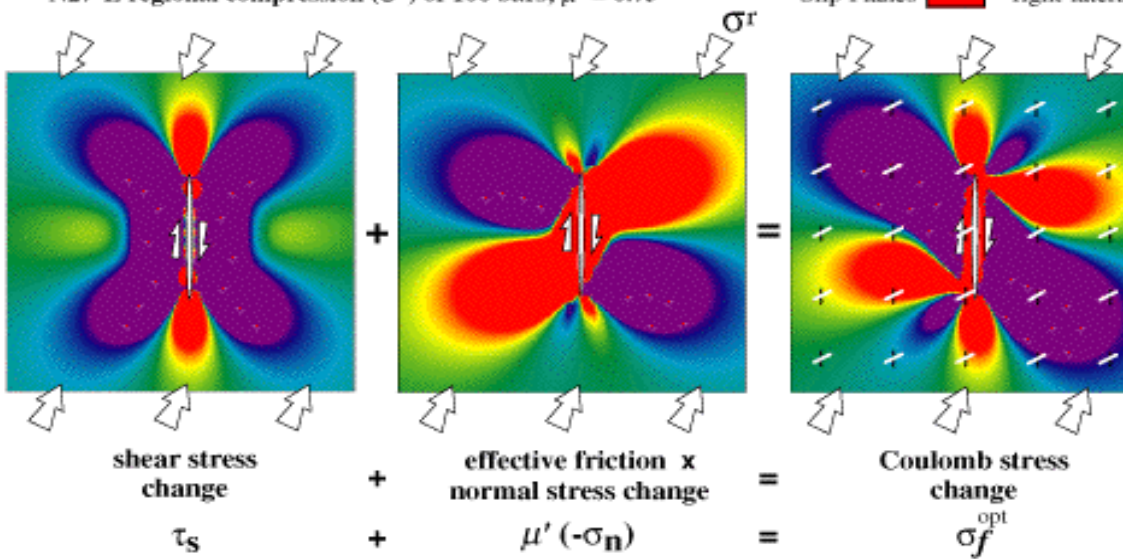
Coulomb stress change due to strike slip earthquakes

A. Coulomb stress change for right-lateral faults parallel to master fault Stress Rise Drop



Effet de la
chute de
contraintes

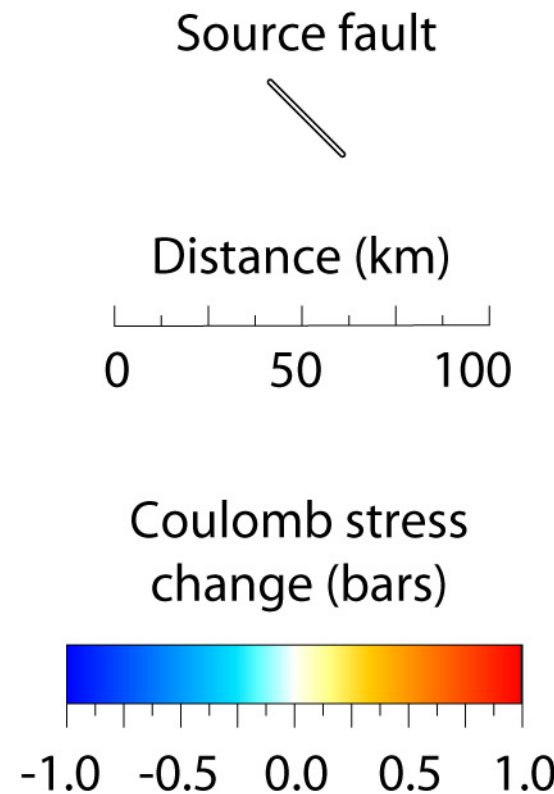
B. Coulomb stress change for faults optimally oriented for failure
N27°E regional compression (σ^r) of 100 bars; $\mu' = 0.75$



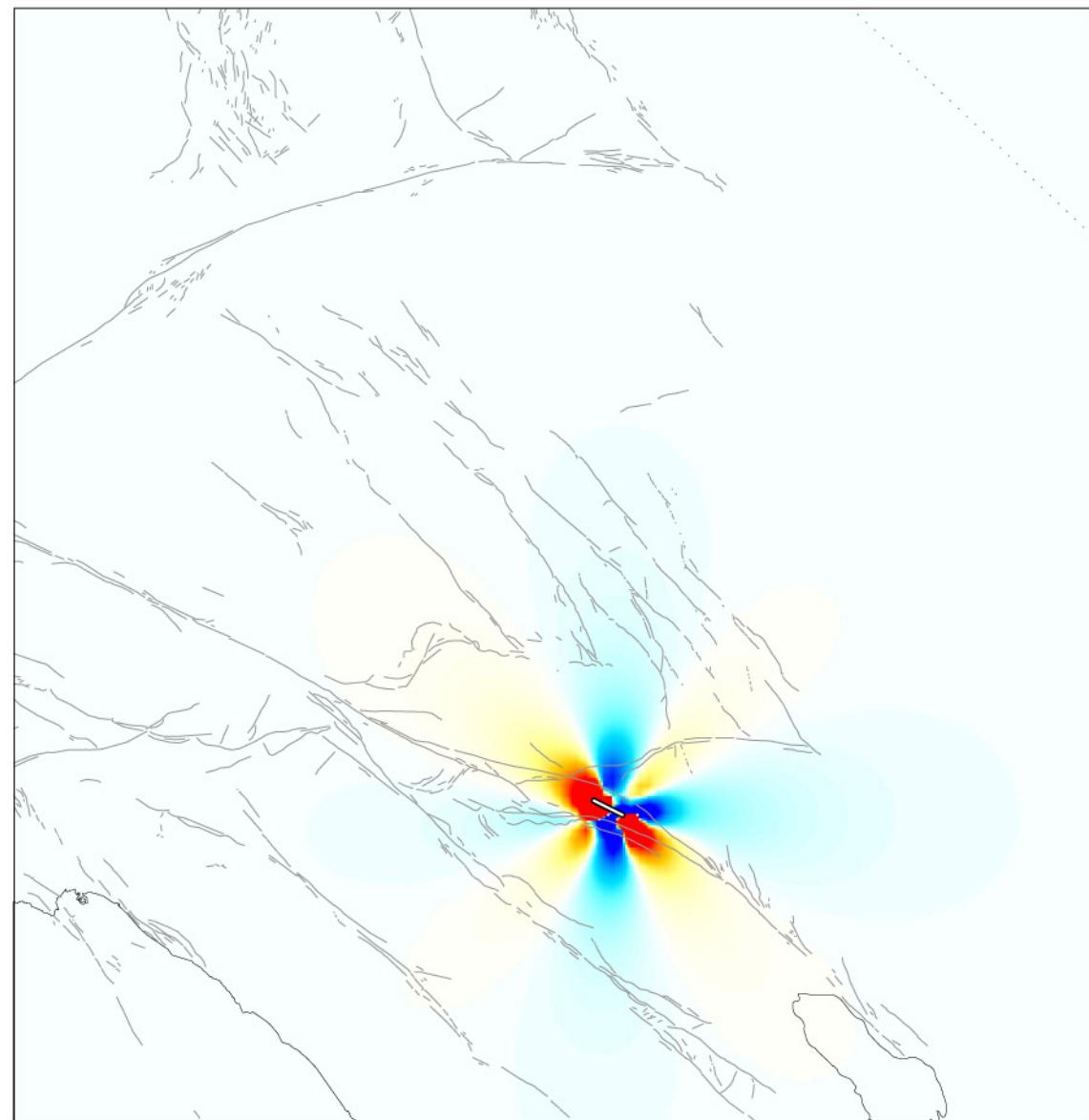
+

Effet de la
contrainte
régionale

Coulomb stress imparted by mainshocks

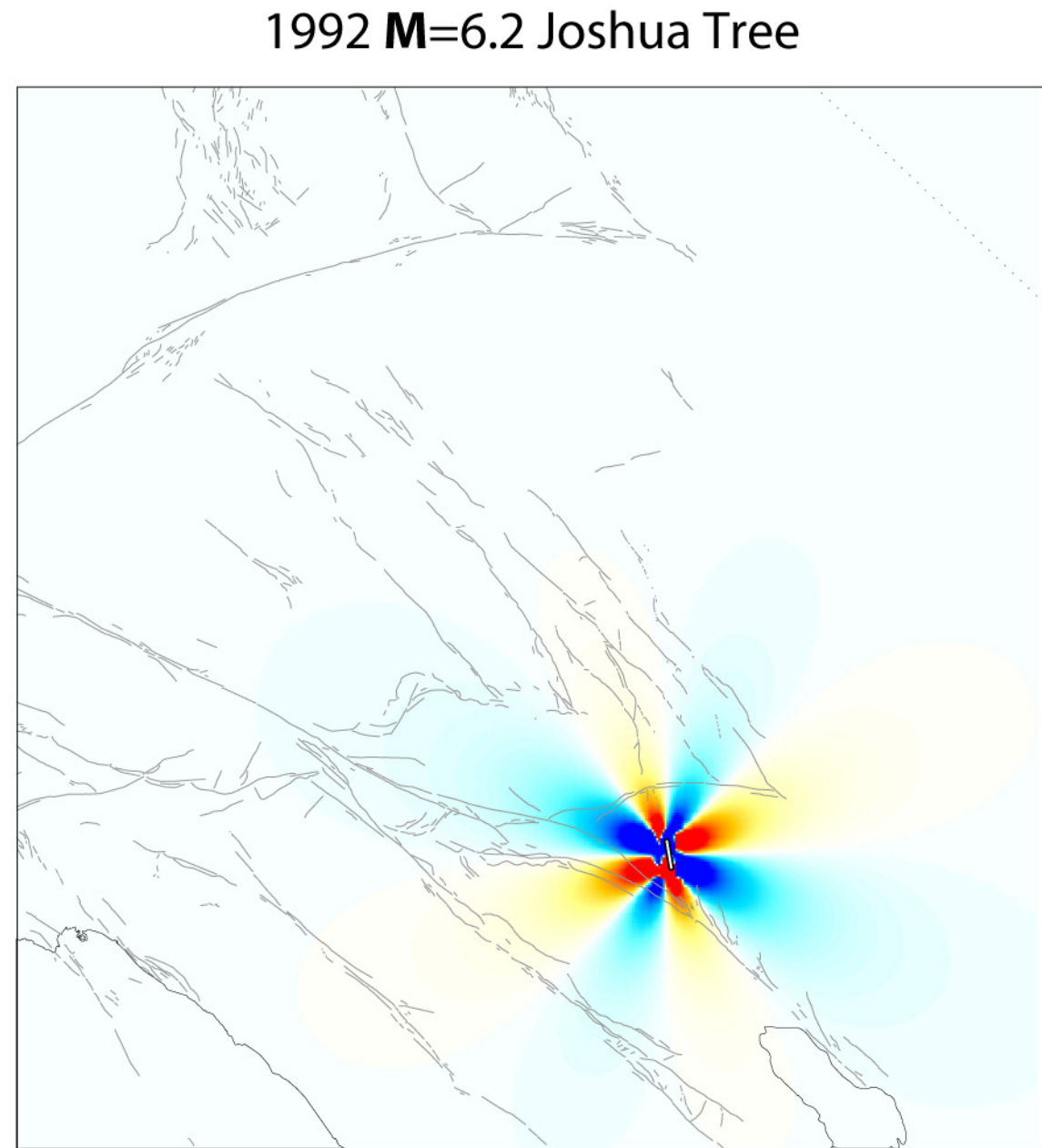
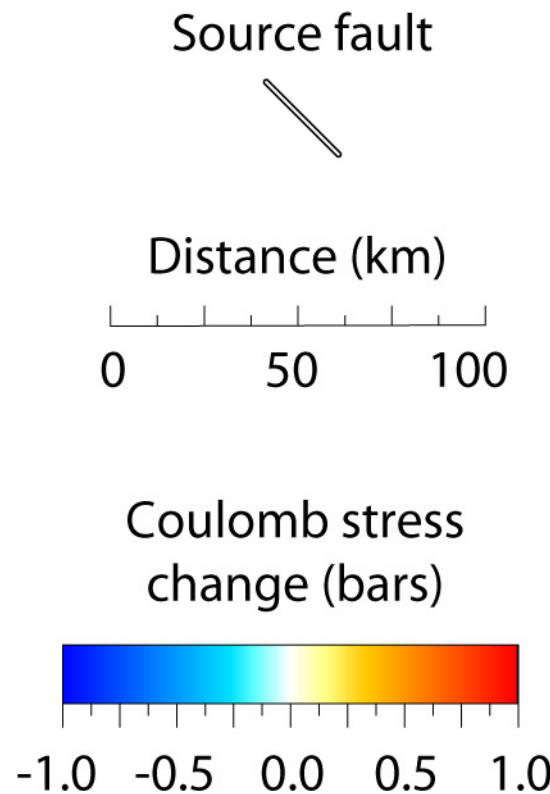


1986 M=6.0 North Palm Springs



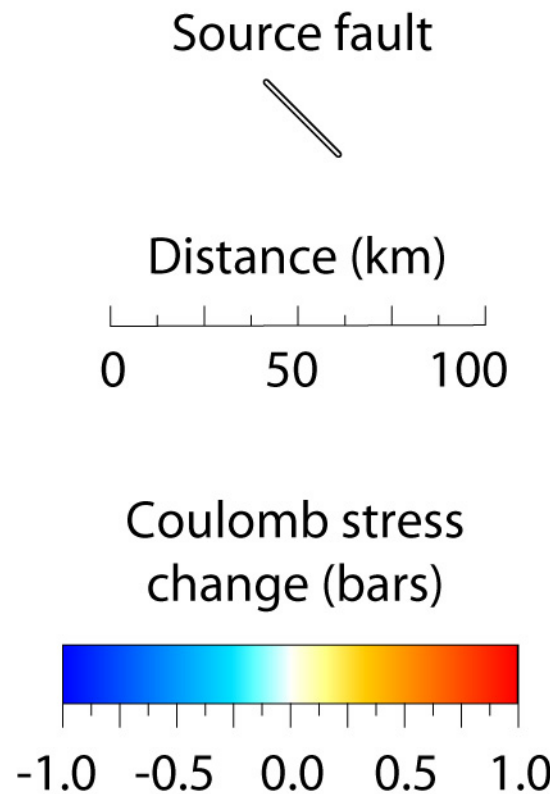
from Todal et al (JGR, 2005)

Coulomb stress imparted by mainshocks

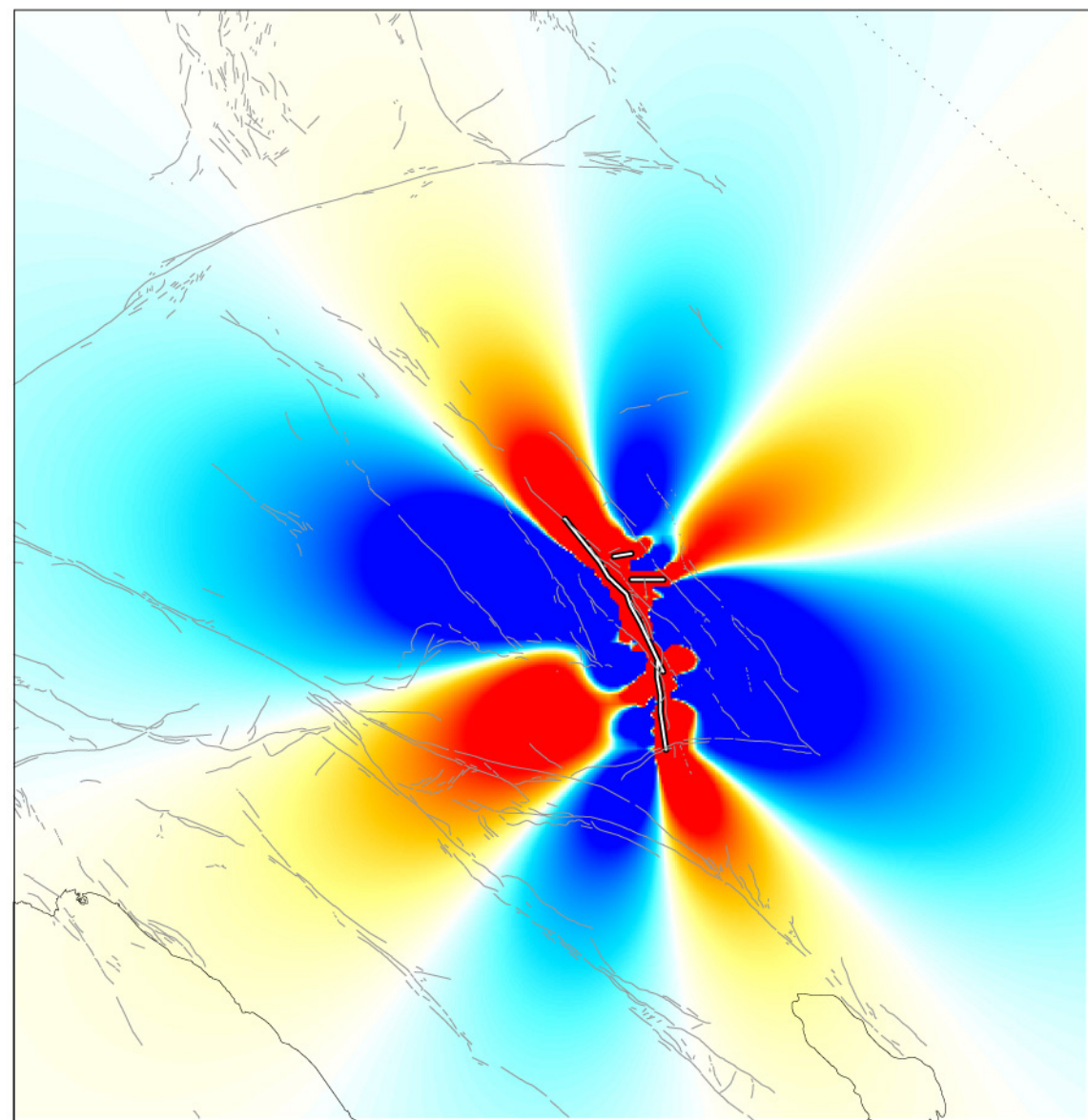


from Todal et al (JGR, 2005)

Coulomb stress imparted by mainshocks

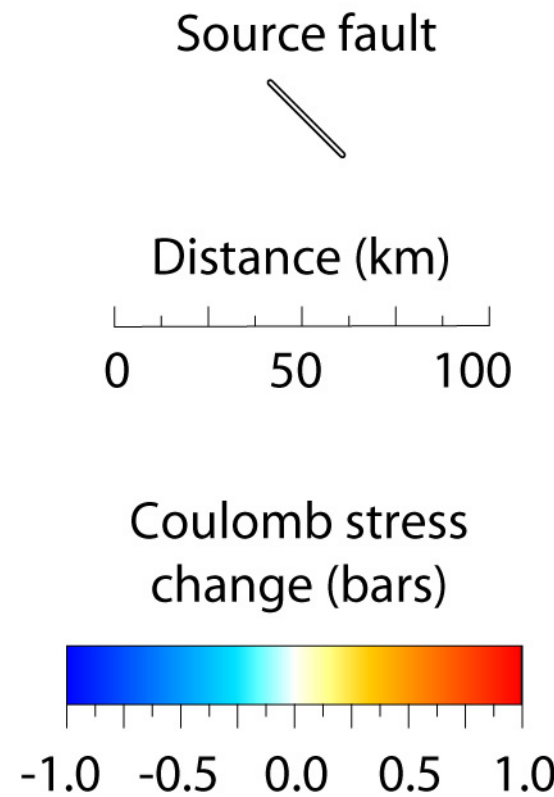


1992 M=7.4 Landers

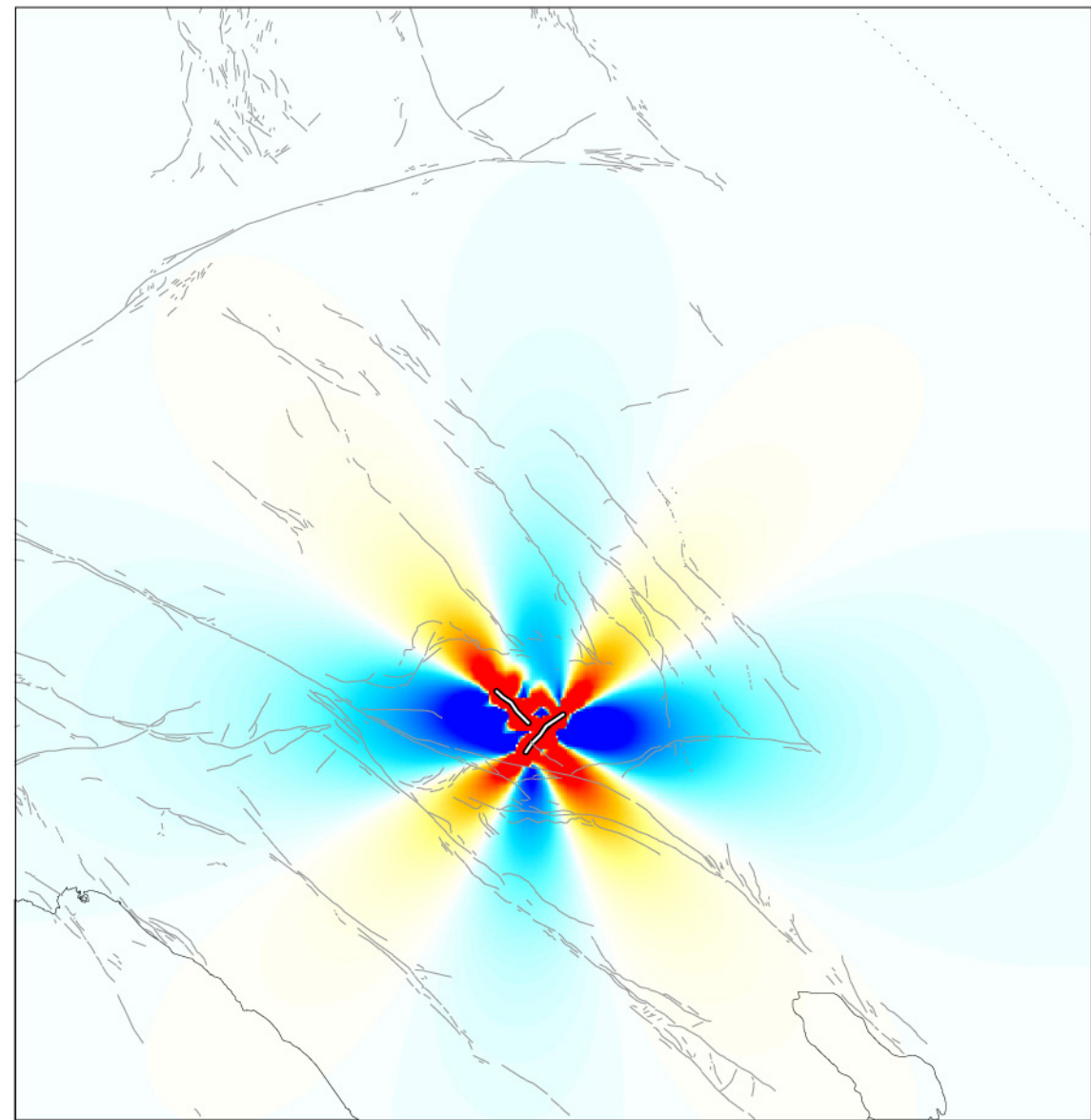


from Todal et al (JGR, 2005)

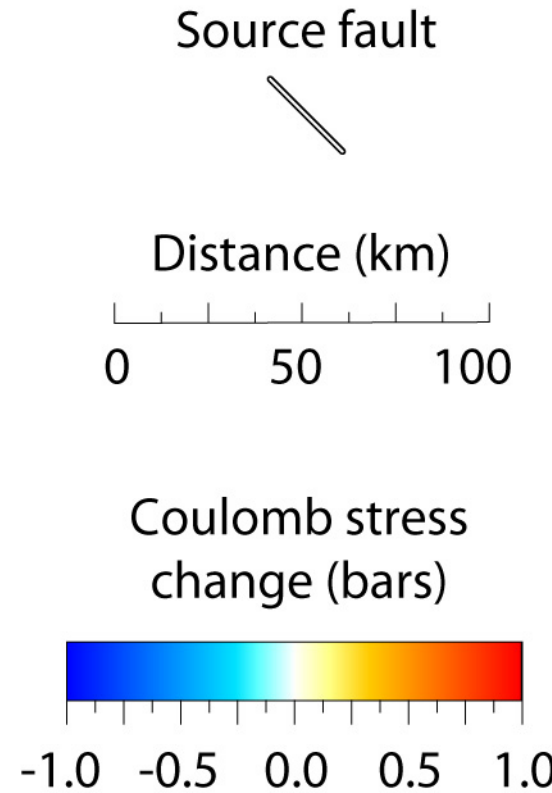
Coulomb stress imparted by mainshocks



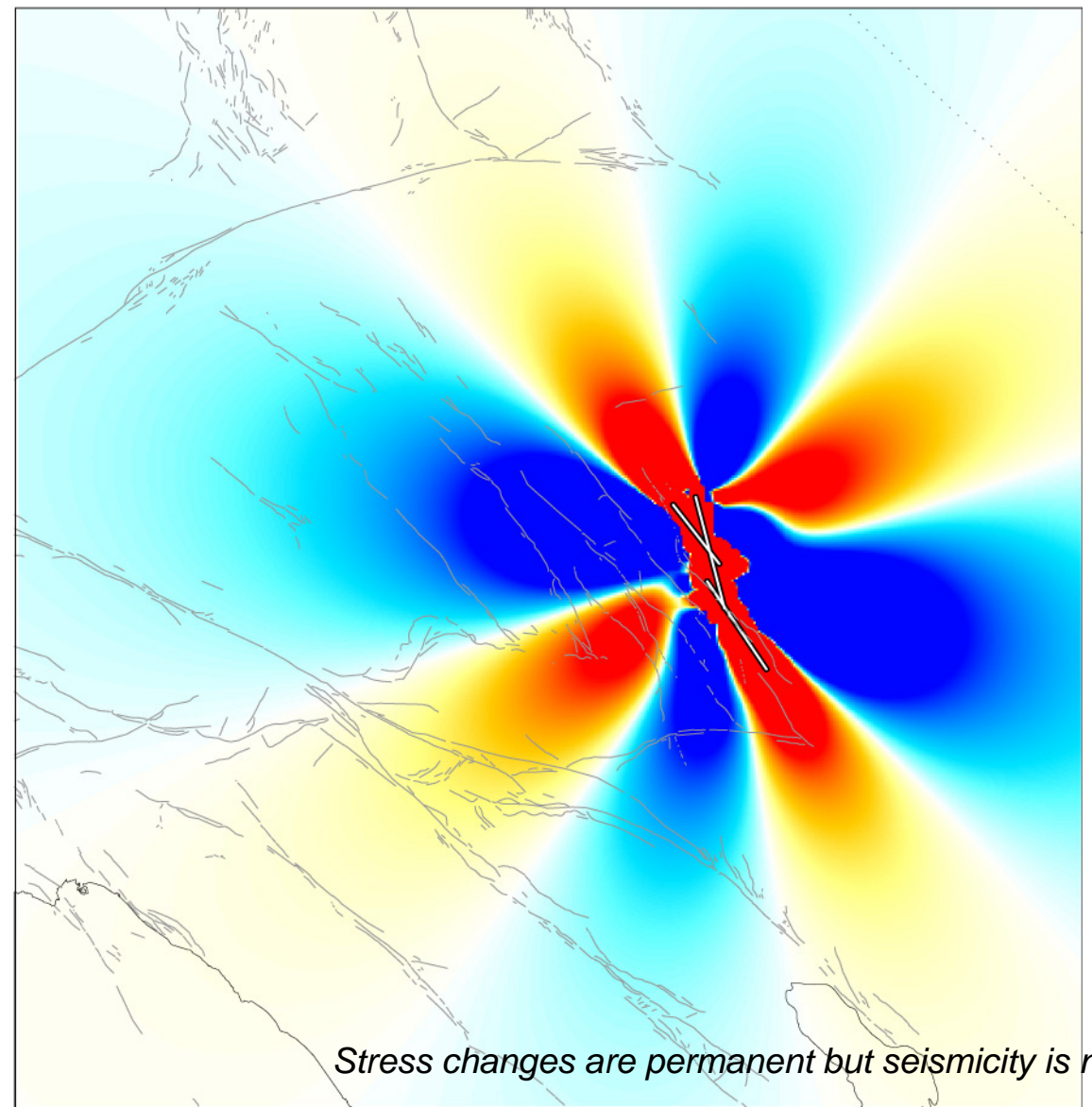
1992 M=6.5 Big Bear



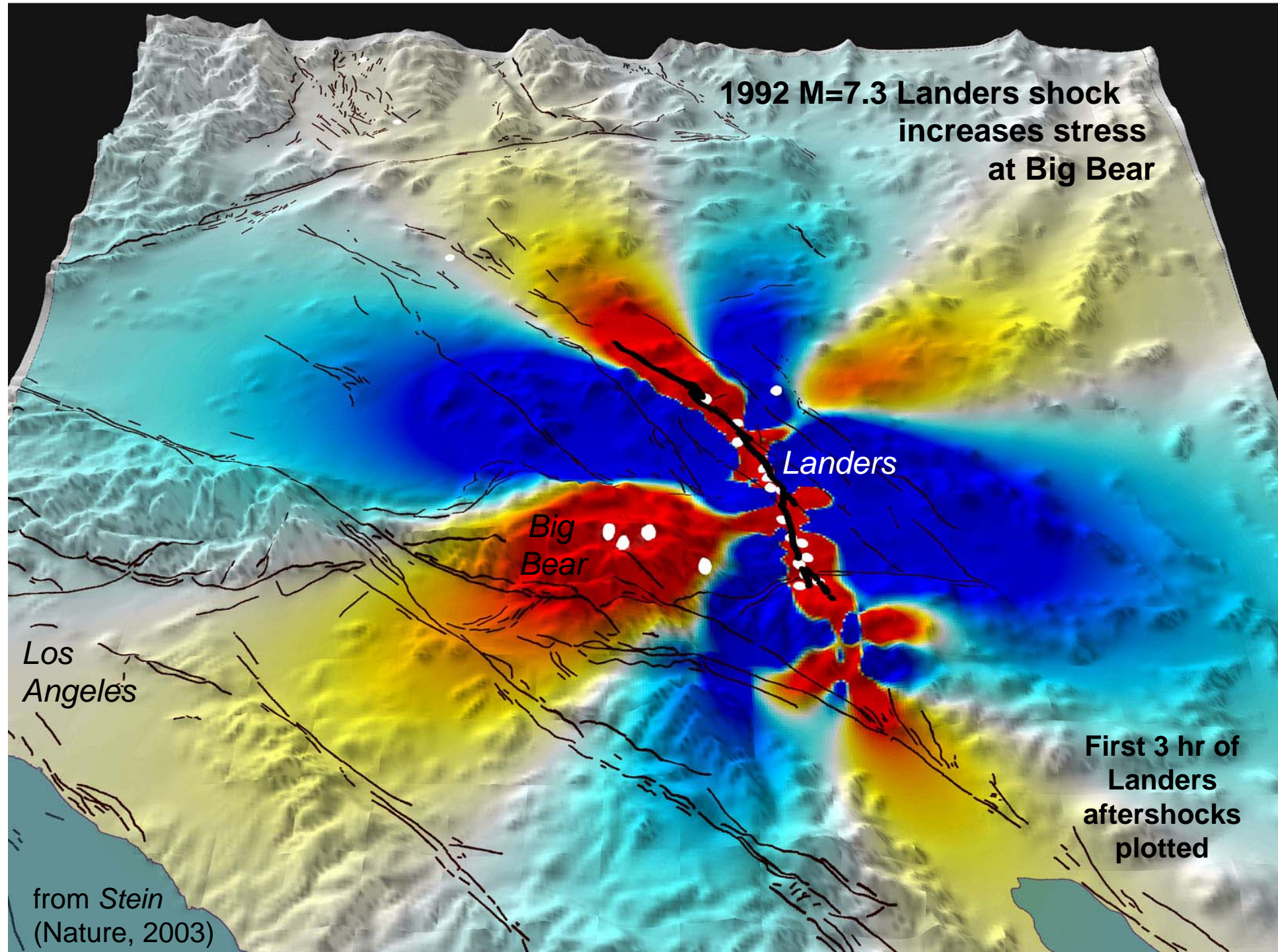
Coulomb stress imparted by mainshocks

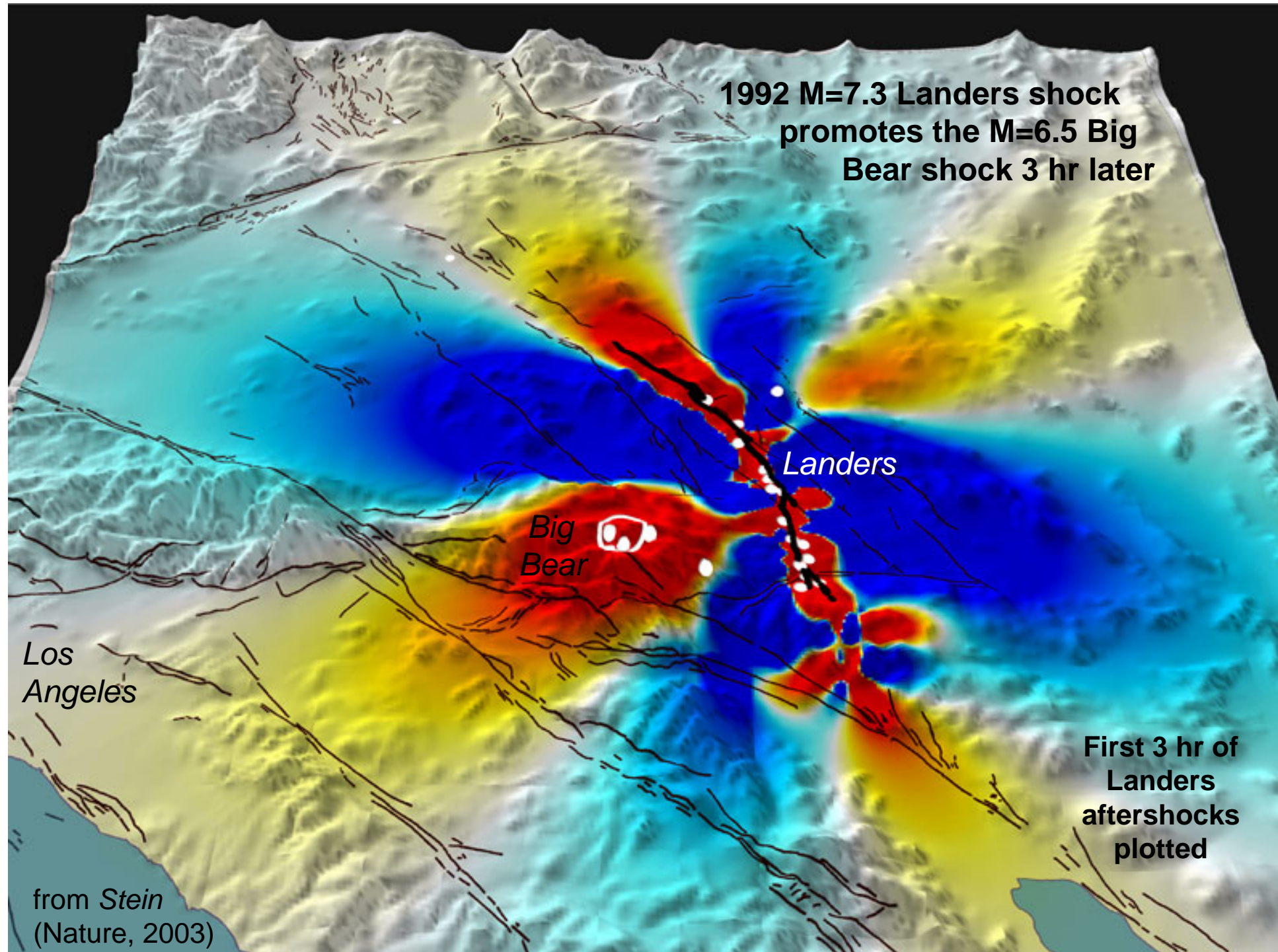


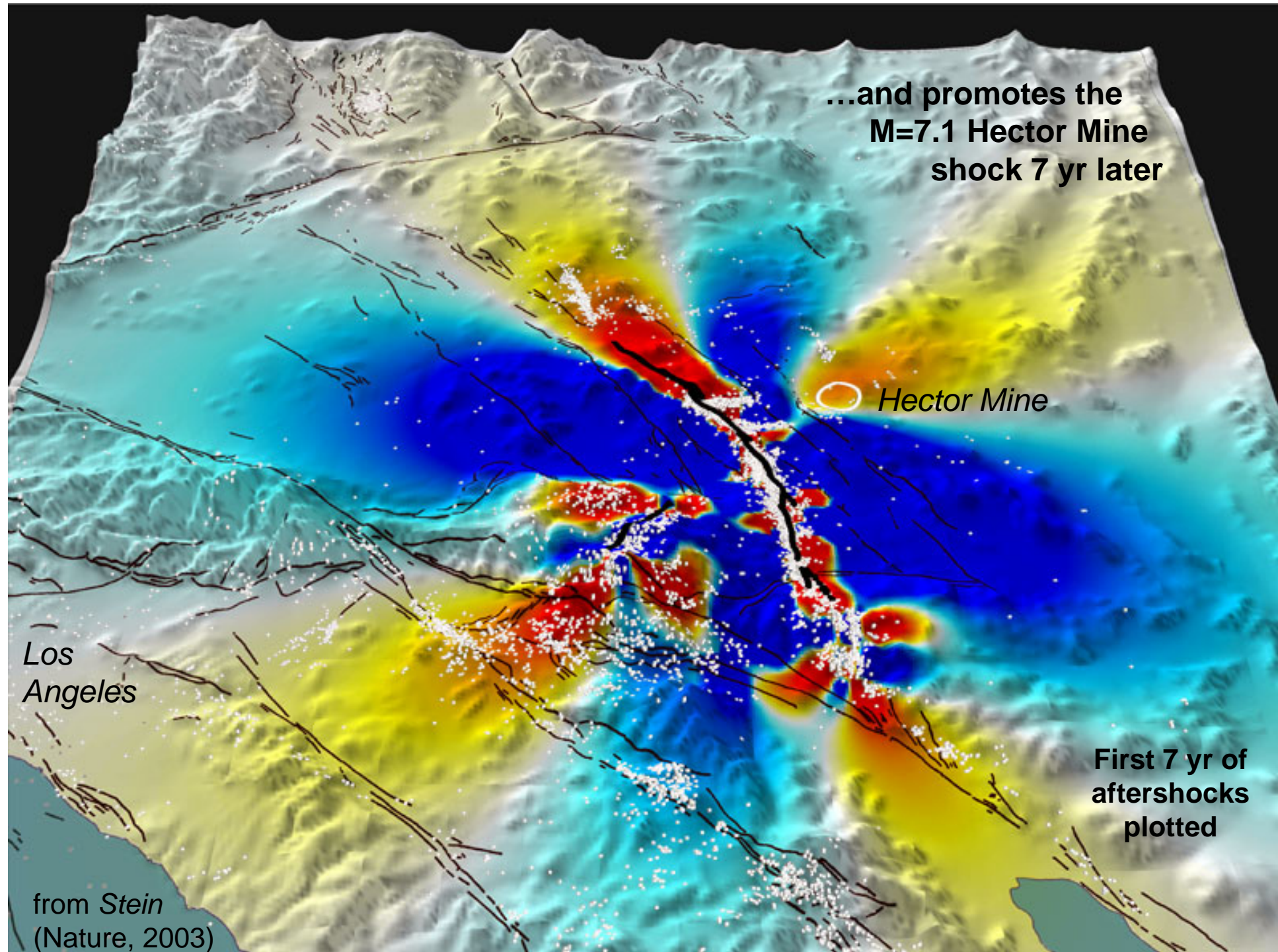
1999 M=7.1 Hector Mine



from Todal et al (JGR, 2005)

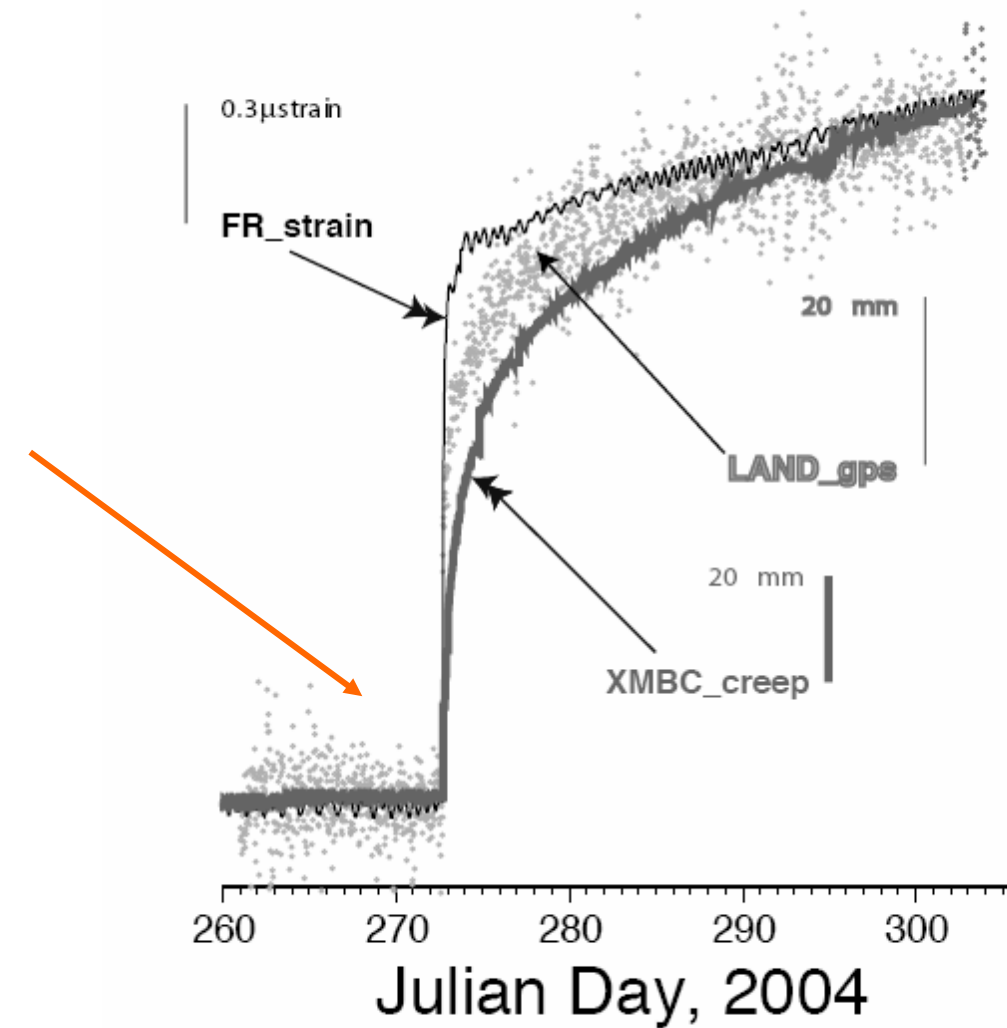






Co-seismic and Post-seismic creep, strain, and GPS

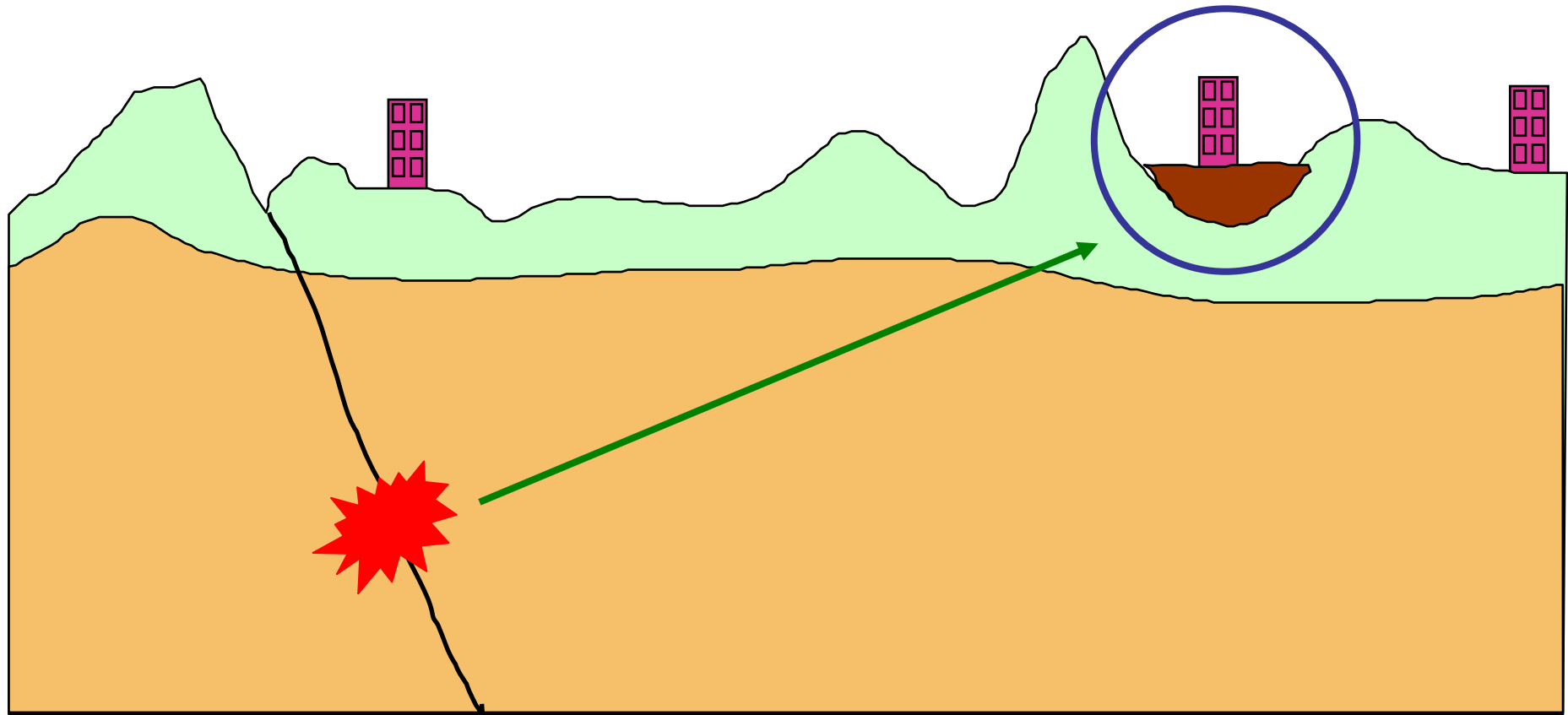
No precursor



Implications des lois d'échelle pour l'accélération du sol

Ground motion evaluation

Source + Path + **Site**



Une méthode d'estimation du mouvement sismique simple et très utilisée : la loi d'atténuation

$$\log(PSA(f)) = \boxed{a(f) \cdot M} + \boxed{b(f) \cdot R - \log(R)} + \boxed{c(i, f)}$$

Source

Magnitude

Parcours

Distance

Site

Caractéristiques du sol